

บทที่ 2

วรรณคดีที่เกี่ยวข้อง

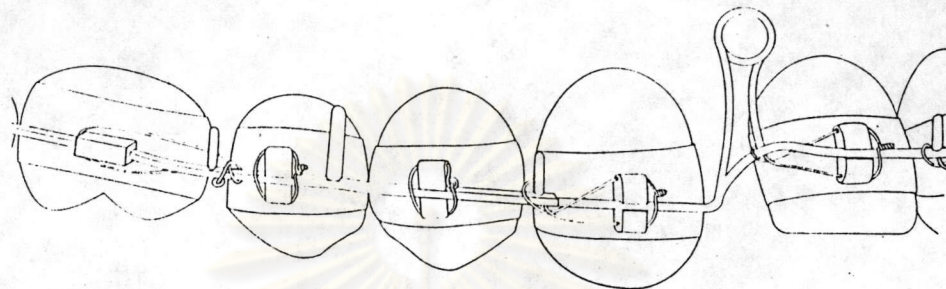
1. ลวดคอนแทรกชัน อาร์ช สำหรับฟันบน

ในอดีตมีการใช้ลวดคอนแทรกชัน อาร์ช โดยการเชื่อมลวดด้วยไฟฟ้า เพื่อทำให้เกิดแรงในการเคลื่อนฟันหน้าในแนวระนาบ โดยมีขั้นตอนในการเตรียมลวด ดังต่อไปนี้ (Fisher, 1957)

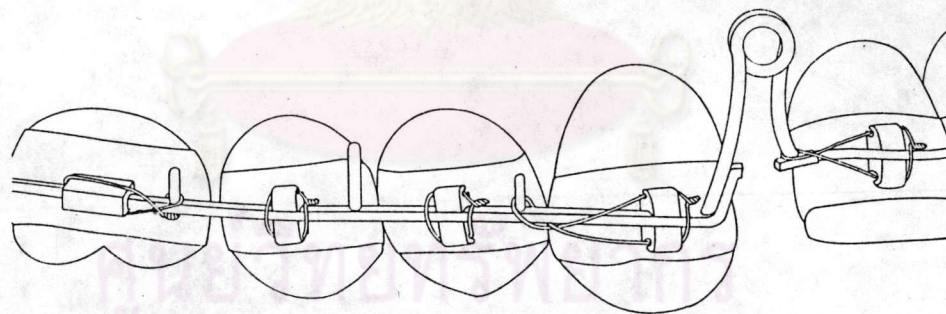
1. ปรับปรุงลวดโค้งแบบ II-A canine spur appliance ที่มีลวดบริเวณฟันหน้าเป็นลวดกลมใช้ในการที่ต้องการเคลื่อนฟันแบบทึบปิง และ II - B canine spur appliance ที่มีลวดบริเวณฟันหน้าเป็นลวดเหลี่ยม เพื่อให้เกิดการเคลื่อนที่แบบบอดิลี และเมื่อต้องการลดโอเวอร์ ไบท์ (over bite) ให้ทำ step up ร่วมกับบริเวณระหว่างฟันหน้าข้าง และฟันเขี้ยว

2. เชื่อมลวดที่ทำจากลวดกลมขนาดใหญ่เข้ากับลวดโค้ง โดยการเชื่อมด้วยไฟฟ้าลวดที่มีความสูง $5/10$ นิ้ว (7.9375 มม.) ขาด้านในห่างกัน $1/16$ นิ้ว (1.5875 มม.) เชื่อมให้ขาลูห่างจากจุดกึ่งกลางระหว่างฟันหน้าข้าง และฟันเขี้ยวเท่ากัน ถ้าลวดโค้งมี step up ให้ตัดขาลูไม่เท่ากัน โดยขาด้านหน้าสั้นกว่าด้านหลังเท่ากับระยะที่ทำ step up

3. ตัดลวดโค้งที่อยู่ระหว่างขาลูออกก่อนที่จะทำการปรับลวด เรียกลวดโค้งแบบใหม่นี้ว่า II-D Edgewise Arch ปรับลวดโดยผูกตะขอหน้าต่อฟันกรามแท้ซี่แรกกับท่อนข้างแก้มให้มีแรงดึงเกิดขึ้น (tie back) ทำให้ขาลูปล้ำออกจากกันเล็กน้อย นอกจากนี้ถ้าต้องการเคลื่อนฟันหน้าไปด้านซ้ายหรือขวาให้ผูกแบรคเกตของฟันหน้าบนซี่ข้าง กับขาลูด้านใกล้กลางเพื่อปรับแนวกึ่งกลางฟันบน (Midline)



ก.



ข.

รูปที่ 4 ลวดคอนแทรกชัน อาร์ช

ก. แบบ II-A ที่เชื่อมลวดด้วยไฟฟ้าและทำ step up

ข. แบบ II-D

ต่อมาเมื่อมีวิวัฒนาการตัดลูปในลวดโค้งที่บริเวณระหว่างพื้นหน้าข้าง และพื้นเขี้ยว โดยไม่ต้องเชื่อมลูปติดกับลวดโค้ง ซึ่งลักษณะของลูปมีหลายแบบ ดังนี้

1. ลวดคอนแทรกชัน อาร์ช แบบ Simple closed loop

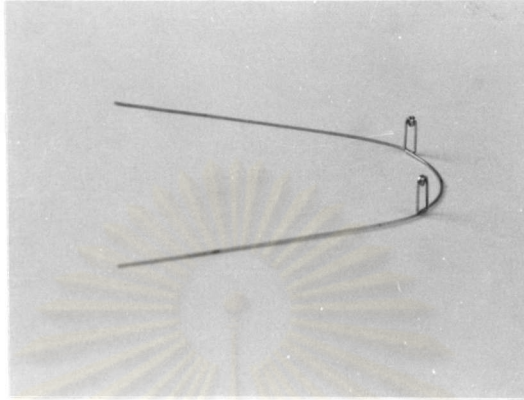
ใช้ลวดเหลี่ยมขนาด 0.016 x 0.016 หรือ 0.016 x 0.022 นิ้ว ชนิดเหล็กกล้าไร้สนิม หรือโคบอลต์ - โครเมียม (Ricketts และ คณะ 1980) ลูปแบบนี้ถ้าแรงจากการปรับลวดมากจะทำให้โอกาสของการสูญเสียหลักยึดเพิ่มขึ้น จึงควรใช้ในผู้ป่วยที่ต้องการลดโอเวอร์ เจท(over jet) เพียงเล็กน้อย (วัชระ เพชรคุปต์, 2527)



รูปที่ 5 ลวดคอนแทรกชัน อาร์ช แบบ Simple closed loop

2. ลวดคอนแทรกชัน อาร์ช แบบ Closed loop with helix

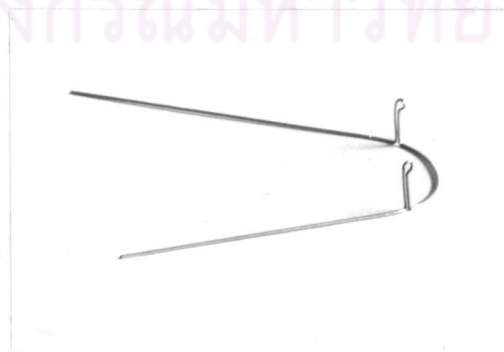
ใช้ลวดเหลี่ยมขนาด 0.016 x 0.016 หรือ 0.016 x 0.022 นิ้ว ชนิดเหล็กกล้าไร้สนิม หรือโคบอลต์ - โครเมียม (Ricketts และ คณะ 1980 ; Hilger, 1987) ลูปแบบนี้ทำให้ลวดมีดีเฟลคชันที่ค้มมาก แรงจึงไม่มากเกินไป ทำให้ไม่เกิดแรงต่อหลักยึดฟันหลังมาก เหมาะสำหรับลดโอเวอร์ เจท ในผู้ป่วยที่มีโอเวอร์ เจท มาก การควบคุมตำแหน่งในแนวตั้งของพื้นหน้าทำได้ โดยการทำ step up ในลวดด้วย (วัชระ เพชรคุปต์, 2527)



รูปที่ 6 ลวดคอนแทรกชัน อาร์ช แบบ Closed loop with helix

3. ลวดคอนแทรกชัน อาร์ช แบบ Bull loop

ใช้ลวดเหลี่ยมขนาด 0.016 x 0.022 นิ้ว เหมาะสำหรับผู้ป่วยที่จะลด
 โอเวอร์ เจก หรือเปิดช่องว่างเพียงเล็กน้อย เพราะมีระยะการปรับลวดโดยไม่เกิดการ
 เปลี่ยนรูปอย่างถาวรน้อย แรงที่เกิดจากการปรับลวดแบบ bull loop จะมากกว่าแบบ
 Simple closed loop และ Closed loop with helix (วัชระ เพชรบุปผ์, 2527 ;
 Proffit และคณะ, 1986)



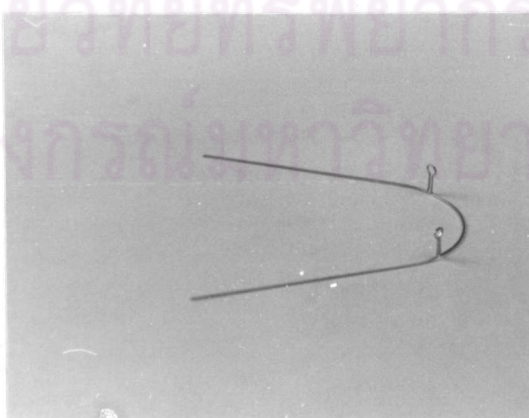
รูปที่ 7 ลวดคอนแทรกชัน อาร์ช แบบ Bull loop

4. ลวดคอนแทรกชัน อาร์ช แบบ Double keyhole loop หรือ Delta loop (Graber และ Swain, 1985; Proffit และคณะ, 1986)

ออกแบบโดย John Parker แห่ง Alameda รัฐแคลิฟอร์เนีย ซึ่ง Proffit และคณะ แนะนำว่าเป็นการออกแบบที่ดีที่สุด สามารถเพิ่มแรงบิด (Torque) และการกดฟัน (Intrusion) ร่วมด้วยได้ ใช้ลวดเหลี่ยมขนาด 0.021 x 0.025 นิ้ว สอดเข้าสลอตขนาด 0.022 นิ้ว และใช้ลวดเหลี่ยมขนาด 0.016 x 0.022 นิ้ว สอดเข้าสลอตขนาด 0.018 นิ้ว ของเครื่องมือเอดจ์ไวส์ชนิดที่มีแบร็กเกตแคบโดยตัดลูปสูง 7 มม. ซึ่งใช้ลวดในการทำลูปยาว 10-12 มม. การปรับขาลูปให้ติดกันทำโดยดึงปลายลวดครั้งละ 0.5 - 1.5 มม.

ข้อดีของลูปแบบนี้ (Graber และ Swain, 1985)

- ก. สามารถใช้ลวดคอนแทรกชัน อาร์ช ชนิดนี้ได้ทั้งปิดช่องว่างบริเวณที่ถอนฟัน และช่องว่างที่กระจายอยู่ให้ติดกัน (Space consolidation)
- ข. ใช้เคลื่อนฟันได้ทั้งฟันหน้าและฟันหลัง
- ค. เคลื่อนฟันได้ทั้งแบบทึบปึง และบอดิลี่ โดยเพิ่มความยาวลวด ในแนวระนาบ เพื่อเพิ่มโมเมนต์ในการเคลื่อนฟันแบบบอดิลี่
- ง. การปรับขาลูปให้ติดกันเมื่อไม่มีแรงจากลูป ทำให้เพิ่มความแข็งแรงของลวด (Proffit และคณะ)

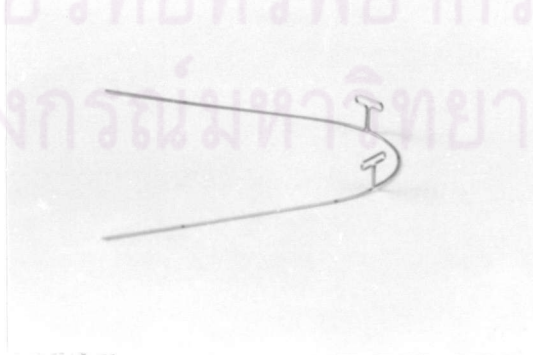


รูปที่ 8 ลวดคอนแทรกชัน อาร์ช แบบ Double keyhole loop หรือ Delta loop

5. ลวดคอนแทรกชัน อาร์ช แบบ Stoner T loop (Stoner และ Lindquist, 1969, Vol. 1)

ใช้ลวดเหล็ยขนาด 0.016 x 0.022 นิ้ว ลูปแบบนี้มีขาลูปด้านใกล้กลางอยู่ หลังต่อปีกของแบรคเกตด้านใกล้กลางของฟันหน้าข้าง 1 มม. และปรับลวดโดยการ งอ ลวด ด้านหลังชั้น (cinch back) หรือใช้ยาง (elastic) ดึงให้ลูปเกิดแรงใช้ในฟันบนและปรับลวด ทุก 3 อาทิตย์ โดยปรับลวดครั้งละ 1 - 1.5 มม. (Graber และ Swain, 1985; Proffit และคณะ, 1986)

- ข้อดี - เป็นลวดที่ให้ผลทางคลินิกดีมาก (Graber และ Swain)
- T loop ที่ตัดขาในแนวระนาบขนานกันจะหลีกเลี่ยงการเคลื่อนฟันแบบทึบปึงได้ และเป็นการออกแบบที่ทำให้ช่วงของทอร์ก (range of torque) เพิ่มขึ้น เพราะมีปริมาณลวดในแนวระนาบมาก
- ในผู้ป่วยที่ต้องการให้เกิดการเปิดของไบท์ (bite opening) ให้ทำ Reverse curve of spee ในลวดด้านหลังและลวดด้านหน้าทำ gingival curvature



รูปที่ 9 ลวดคอนแทรกชัน อาร์ช แบบ T loop

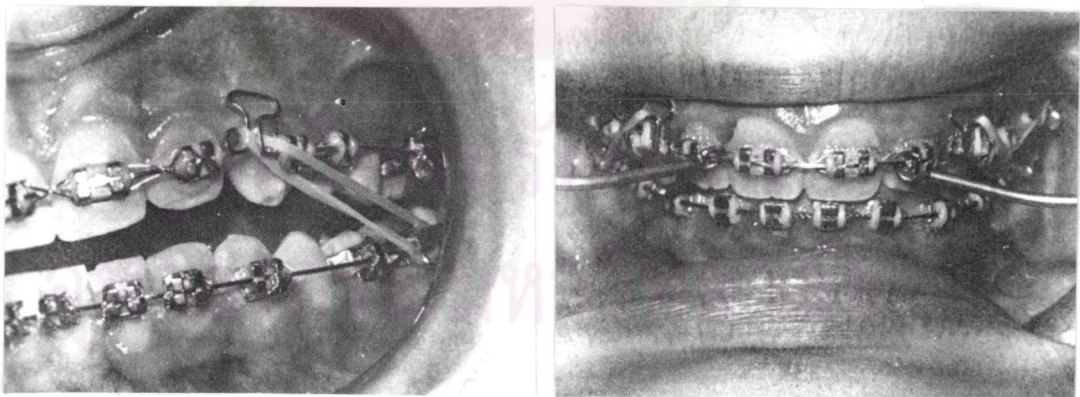
6. ลวดคอนแทรกชัน อาร์ช แบบ Modified "T" loop

Tayer (1981) แนะนำให้ใช้ลวดเหล็กผสมชนิด Blue Elgiloy ขนาด 0.016 x 0.022 นิ้ว โดยใช้กับสลอต 0.018 นิ้ว และ ขนาด 0.019 x 0.025 นิ้ว โดย ใช้กับสลอต 0.022 นิ้ว ลักษณะลวดเป็นรูปตัว T ที่มีลิ้นบริเวณมุมของขาตั้งในใจกลางทำให้ สามารถเพิ่มทอร์กได้ดียิ่งขึ้น อาจเปิดไบท์โดยใช้ยางแบบคลาสสิกเกี่ยวยางได้ 2 ลักษณะตาม รูปที่ 10 ข,ค หรือใช้ร่วมกับ High pull Head gear ในการกดฟันหน้าก็ได้ (รูปที่ 10 ง)



ก

ข



ค

ง

รูปที่ 10 แสดง ก. ลวดคอนแทรกชัน อาร์ช แบบ Modified "T" loop

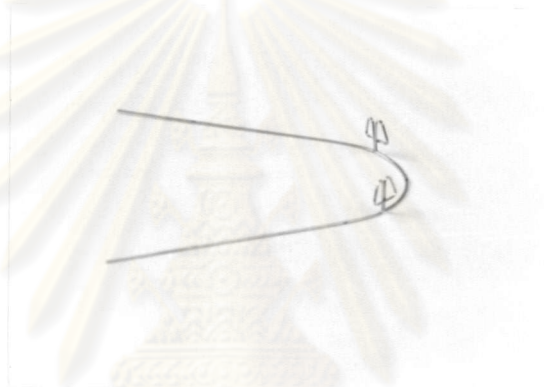
ข. วิธีเพิ่มทอร์กโดยการใช้อย่าง แบบที่ 1

ค. วิธีเพิ่มทอร์กโดยการใช้อย่าง แบบที่ 2

ง. วิธีใช้เครื่องมือออกปากช่วยในการกดฟันหน้าบน

7. ลวดคอนแทรกชัน อาร์ช แบบ Double delta loop (Ricketts และ คณะ, 1980)

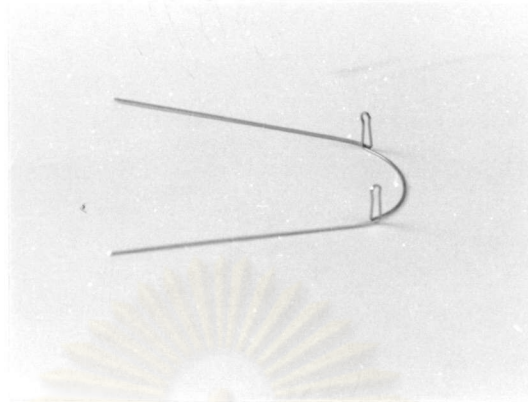
ใช้ลวดเหล็ยมีขนาด 0.016×0.016 นิ้ว ชนิด Blue Elgiloy ลูปแบบนี้ใช้ประโยชน์ในการปิดช่องว่างที่กระจายอยู่ให้ชิดกัน (Space consolidation) และปิดช่องว่างบริเวณที่ถอนฟันเพื่อการจัดฟัน ซึ่งแนะนำให้ปรับลวดครั้งละ 1-2 มม.



รูปที่ 11 ลวดคอนแทรกชัน อาร์ช แบบ Double delta loop

8. ลวดคอนแทรกชัน อาร์ช แบบ Closed loop ของ Hickham (1986)

แนะนำให้ใช้ลวดเหล็ยเหล็กกล้าไร้สนิมขนาด 0.017×0.022 นิ้ว ใช้ในการเคลื่อนฟันหน้าอหหลัง แต่ถ้าต้องการเคลื่อนฟันหน้าอหหลังพร้อมทั้งการเคลื่อนฟันเขี้ยวไปด้านไกลกลาง อาจใช้ลวดเหล็ยมีขนาด 0.016×0.022 นิ้ว ก็ได้



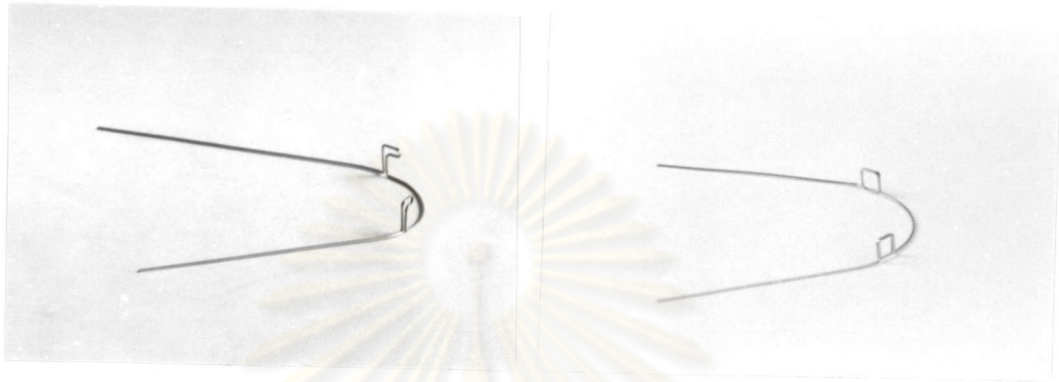
รูปที่ 12 ลวดคอนแทรกชัน อาร์ช แบบ Closed loop ของ Hickham

นอกจากนี้ยังมีการออกแบบลูปในลวดคอนแทรกชัน อาร์ช เป็นแบบต่าง ๆ อีก

(Stoner และ Lindquist, 1969 Vol. 1) เช่น

- L loop (รูปที่ 13 ก)
- Box loop (รูปที่ 13 ข)
- Drag loop (รูปที่ 13 ค) เป็นต้น

ศูนย์วิทยทรัพยากร
จุฬาลงกรณ์มหาวิทยาลัย



ก

ข



ค

ศูนย์วิทยทรัพยากร
จุฬาลงกรณ์มหาวิทยาลัย

รูปที่ 13 ลวดคอนแทรกชัน อาร์ช

ก. แบบ L loop

ข. แบบ Box loop

ค. แบบ Drag loop

2. สิ่งที่มียกย่องต่อแรงของเครื่องมือทันตกรรมจัดฟัน

ปัจจัยที่ส่งผลต่อแรงในเครื่องมือทันตกรรมจัดฟันชนิดติดแน่นมีหลายประการ แต่ที่สำคัญและให้ผลโดยตรงต่อการเคลื่อนฟัน ได้แก่ ลวดซึ่งแบ่งกล่าวเป็น 2 ลักษณะ (Ricketts และคณะ, 1980; Burstone, 1981; Swartz, 1981; Graber และ Swain, 1985; Nikolai, 1985; Quinn และ Yoshikawa, 1985; Lipsett, Faulkner และ El - Rayes ; 1990) คือ

1. คุณสมบัติภายในลวด (Intrinsic wire property) คือ ชนิดของลวด ที่เกี่ยวข้องกับโมดูลัสของการยืดหยุ่น (Young's Modulus) หรือ ความแข็งดิ่งของลวด (Wire stiffness)

2. ปัจจัยภายนอก (Extrinsic factor) ได้แก่

ก. แบบของลูป

ข. ขนาดลวด

Burstone, Graber และ Swain กล่าวว่า แรงจากเครื่องมือทันตกรรมจัดฟัน จะเกี่ยวข้องกับสมการ ดังต่อไปนี้

$$S = W_u \times A_u : S = \text{Appliance load-deflection rate}$$

$$W_u = \text{Wire stiffness}$$

$$A_u = \text{Design stiffness factor}$$

$$\text{Appliance stiffness} = \text{Wire stiffness} \times \text{Design stiffness}$$

$$\text{และ } W_u = M_u \times C_u : M_u = \text{Material stiffness}$$

$$C_u = \text{Cross-section stiffness}$$

$$\text{Wire stiffness} = \text{Material stiffness} \times \text{Cross-section stiffness}$$

ความแข็งดิ่งจากชนิดของวัสดุ (Material stiffness) ที่ใช้ทำลวดจะเกี่ยวข้องกับ ความแข็งดิ่งในช่วงยืดหยุ่น (Elastic stiffness) และ โมดูลัสของการยืดหยุ่น

ในปัจจุบัน ลวดที่ใช้ในทางกันดกรรรมจัดพ้ันมีหลายชนิด มีทั้งข้อดี และข้อเสีย (Burstone และ Goldberg, 1980; Sarkar และคณะ, 1983; Drescher, Bouraude และ Schumacher, 1989; Kapila และ Sachdeva, 1989; เจนรัตนไพศาล, 2533) ดังนั้น การเลือกใช้จึงขึ้นอยู่กับวัตถุประสงค์ของการใช้งาน

ชนิดของลวดที่มีจำหน่ายอยู่ในปัจจุบัน ได้แก่

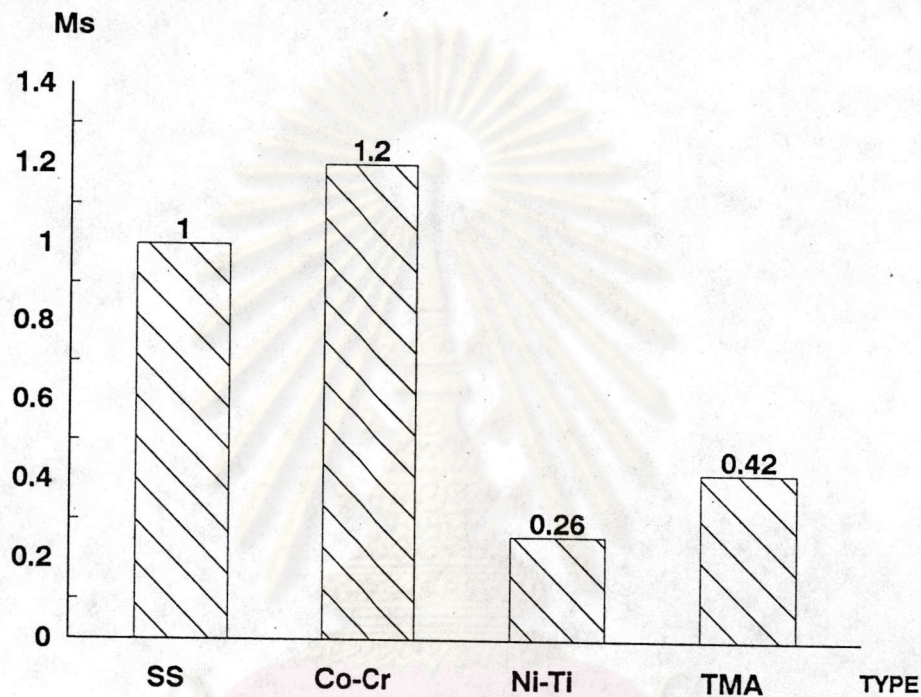
1. ลวดเหล็กกล้าไร้สนิม มีโมดูลัสของการยืดหยุ่น ($23-29 \times 10^6$ psi.) และความทนแรงดึงสูงมาก (tensile strength = 330×10^3 psi.) ทำให้เกิดแรงจากการปรับลวดมากจึงมักใช้ลวดขนาดเล็ก ซึ่งมีข้อเสียในเรื่องการควบคุมการเคลื่อนพ้ัน แต่มีสปริงแบคเพียงพอ, ดัดเป็นรูปร่างต่าง ๆ ได้ดีมาก, เชื่อมด้วยไฟฟ้าและการบัดกรีได้, มีความต้านทานต่อการกัดกร่อนดี, ความเสียดทานน้อยและราคาปานกลาง จากคุณสมบัติเหล่านี้ทำให้นิยมใช้กันอย่างแพร่หลาย

2. ลวดโคบอลต์-โครเมียม (ลวดเอลจิลอย) มีคุณสมบัติต่าง ๆ ใกล้เคียงกับลวดเหล็กกล้าไร้สนิมเมื่อทำการอบด้วยความร้อน แต่ดัดเป็นรูปร่างได้ง่ายกว่า เหมาะในการดัดลวดที่มีการออกแบบที่ยุงยาก และทนการกัดกร่อนในช่องปากได้ดีที่สุด แต่ราคาแพงกว่าลวดเหล็กกล้าไร้สนิม

3. ลวดนิเกิล-ติตาเนียม มีโมดูลัสของการยืดหยุ่น (4.8×10^6 psi.) และความทนแรงดึงน้อย (240×10^3 psi.) มีช่วงยืดหยุ่นมากและมีสปริงแบคสูง ใช้ในกรณีที่ต้องการดีเฟลคชันสูง (Deflection) แต่ให้แรงน้อย มีข้อเสีย คือ ดัดยาก, เชื่อมด้วยไฟฟ้าและการบัดกรีไม่ได้ และมีความต้านทานต่อการกัดกร่อนในช่องปากน้อยที่สุด

4. ลวดบีตา-ติตาเนียม มีคุณสมบัติต่างๆอยู่ระหว่างลวดเหล็กกล้าไร้สนิมและลวดนิเกิล-ติตาเนียม โดยมีโมดูลัสของการยืดหยุ่น (10×10^6 psi.) และความทนแรงดึงปานกลาง (180×10^3 psi.), มีช่วงยืดหยุ่นประมาณ 2 เท่าของลวดเหล็กกล้าไร้สนิม มีสปริงแบคปานกลาง และสามารถเชื่อมด้วยไฟฟ้าได้ แต่มีข้อเสียในเรื่องความเสียดทานสูงที่สุด จึงไม่เหมาะที่จะใช้ในกรณีเคลื่อนพ้ันไปตามลวด

ความแข็งดิ่งของลวดชนิดเหล็กกล้าไร้สนิม : โคบอลต์ - โครเมียม : นิกเกิล -
 ติตาเนียม : บัตา - ติตาเนียม (Stainless steel : Cobalt - Chromium :
 Nickel - Titanium : β - Titanium) = 1 : 1.2 : 0.26 : 0.42 (Burstone,
 1981; Graber และ Swain, 1985) (รูปที่ 14)

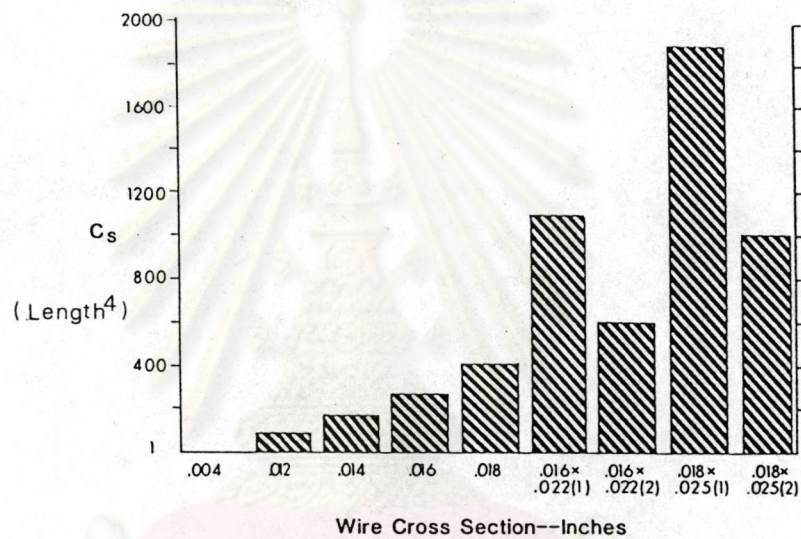


รูปที่ 14 กราฟแสดงการเปรียบเทียบความแข็งดิ่งของวัสดุต่าง ๆ
 เปรียบเทียบกับชนิดเหล็กกล้าไร้สนิม (M_s)

ความแข็งดิ่งจากขนาดลวด (Cross-section Stiffness)

ลวดขนาดเล็กมีความแข็งดิ่งน้อยกว่าลวดขนาดใหญ่ เช่น ลวดกลมเหล็กกล้าไร้สนิม
 ขนาด 0.014 : 0.016 : 0.018 นิ้ว = 150 : 256 : 410 = 1 : 1.7 : 2.7
 ลวดเหลี่ยมเหล็กกล้าไร้สนิมขนาด 0.016 x 0.016 : 0.018 x 0.018 นิ้ว =
 434 : 696 หรือ 1 : 1.6 ตามลำดับ (Burstone; 1981; Graber และ Swain,
 1985) ทำให้ลวดขนาดเล็กมีแรงน้อยกว่าลวดขนาดใหญ่ (Chaconas, Caputo และ
 Hayashi, 1974; Lane และ Nikolai, 1980; Nikolai, 1985)

เมื่อเปรียบเทียบลวดหลาย ๆ ขนาดพบว่า การเปลี่ยนแปลงของขนาดลวดจะทำให้ ความแข็งดิ่งเปลี่ยนแปลงได้มากเป็น 10 หรือ มากกว่า 10 เท่า (Burstone, 1981; Graber และ Swain, 1985) (รูปที่ 15)



ศูนย์วิทยทรัพยากร

รูปที่ 15 กราฟแสดงการเปรียบเทียบ ความแข็งดิ่งของลวดขนาดต่าง ๆ

จุฬาลงกรณ์มหาวิทยาลัย

Wire type	Cross section (inches)	Cross section (mm.)	Order	M_s	C_s	W_s ($M_s \times C_s$)
S.S.	0.009	0.229	—	1.00	25.63	25.63
S.S.	0.012	0.305	—	1.00	81.00	81.00
S.S.	0.014	0.356	—	1.00	150.06	150.06
S.S.	0.016	0.406	—	1.00	256.00	256.00
S.S.	0.018	0.457	—	1.00	410.06	410.06
S.S.	0.020	0.508	—	1.00	625.00	625.00
TMA	0.016	0.406	—	0.42	256.00	107.52
Nitinol	0.016	0.406	—	0.26	256.00	66.56
TMA	0.018	0.457	—	0.42	410.06	172.23
Nitinol	0.018	0.457	—	0.26	410.06	106.62
TMA	0.016 × 0.020	0.406 × 0.508	1st	0.42	848.83	356.51
TMA	0.016 × 0.020	0.406 × 0.508	2nd	0.42	543.15	228.16
TMA	0.016 × 0.022	0.406 × 0.556	1st	0.42	1129.79	474.51
TMA	0.016 × 0.022	0.406 × 0.556	2nd	0.42	597.57	250.98
S.S.	0.018 × 0.025	0.457 × 0.635	1st	1.00	1865.10	1865.10
S.S.	0.018 × 0.025	0.457 × 0.635	2nd	1.00	966.87	966.87
TMA	0.018 × 0.025	0.457 × 0.635	1st	0.42	1865.10	783.34
TMA	0.018 × 0.025	0.457 × 0.635	2nd	0.42	966.87	406.08
Nitinol	0.018 × 0.025	0.457 × 0.635	1st	0.26	1865.10	484.93
Nitinol	0.018 × 0.025	0.457 × 0.635	2nd	0.26	966.87	251.38
E _B	0.018 × 0.025	0.457 × 0.635	1st	1.19	1865.10	2219.47
E _B	0.018 × 0.025	0.457 × 0.635	2nd	1.19	966.87	1150.57
E _B *	0.018 × 0.025	0.457 × 0.635	1st	1.22	1865.10	2275.42
E _B *	0.018 × 0.025	0.457 × 0.635	2nd	1.22	966.87	1179.58
S.S.	0.021 × 0.025	0.533 × 0.635	1st	1.00	2175.95	2175.95
S.S.	0.021 × 0.025	0.533 × 0.635	2nd	1.00	1535.31	1535.31

*Heat-treated.
S.S. = Stainless steel.
E_B = Elgiloy blue.

ตารางที่ 1 แสดงความแข็งดึงของลวดชนิดต่าง ๆ และขนาดต่าง ๆ กัน

ความแข็งดึงจากลวดของเครื่องมือ ได้แก่ การเพิ่มความยาวลวดโดยการเพิ่มลวด
การออกแบบลวดเพื่อให้มีรูปร่างที่เหมาะสมโดยการกำหนดความสูงและความกว้างของลวดซึ่งจะ
ส่งผลถึงความแข็งดึง, ระยะการปรับลวด, ขนาดแรงมากที่สุดในช่วงการยืดหยุ่น, ความเค้น
และโมดูลัสของการยืดหยุ่นของลวด (Stoner, 1960; Mahler และ Goodwin, 1967;
Weinstein, 1967; Stoller, 1971 ; Jarabak และ Fizzell, 1972, Vol. 1;
Chaconas, Caputo และ Hayashi, 1974; Waters, Stephens และ Houston,
1975; Burstone และ Koenig, 1976; Williams, Caputo และ Chaconas,

1978; Lane และ Nikolai, 1980; Ricketts และคณะ, 1980; Thurow, 1982; Kobayashi, 1985; Nikolai, 1985; Quinn และ Yoshikawa, 1985; Proffitt และคณะ, 1986; Water และ Ward, 1987)

การทำให้เกิดแรงในเครื่องมือที่มีลูปี้้นมีหลายวิธีด้วยกันซึ่งระยะการปรับลวดจะมี ส่วนสำคัญที่จะทำให้เกิดแรงมากหรือน้อย (Jarabak และ Fizzell, 1972, Vol. 1; Williams, Caputo และ Chaconas, 1978; Ricketts และคณะ, 1980; Drake และคณะ, 1982; Lipsett, Faulkner และ El - Rayes, 1990)

ในลวดเหลี่ยม พบว่า อัตราไหลด-ดีเฟลคชันแปรผันตามพื้นที่หน้าตัดของลวดที่มีการ ดัดลูป และแปรผกผันกับความยาวของลวด (Graber และ Swain, 1985)

การเปลี่ยนแปลงขนาดแรง ของเครื่องมือมีข้อจำกัดในขนาดลวด เนื่องจากต้อง สัมพันธ์กับขนาดสลอตของแบร็กเกตโดยทั่วไปใช้สลอตขนาด 0.018 นิ้ว ใช้ลวดคอนแทรกทิน อาร์ช ขนาด 0.016 x 0.016 หรือ 0.016 x 0.022 นิ้ว และจากการศึกษาของ Graber และ Swain พบว่า การเพิ่มความยาวลวดจะให้ผลดีกว่าลดขนาดลวดเพราะทำให้ ขนาดแรงมากที่สุดในช่วงการยืดหยุ่นเปลี่ยนแปลงน้อย แต่ระยะการปรับลวดโดยไม่เกิด การเปลี่ยนรูอย่างถาวรเพิ่มขึ้น ดังนั้น การเปลี่ยนแปลงขนาดแรงในเครื่องมือจัดฟัน จึง เกี่ยวข้องกับการเพิ่มความยาวหรือการออกแบบเครื่องมือเป็นส่วนใหญ่

หลักการออกแบบลูป

1. ควรออกแบบให้ง่ายที่สุด (Graber และ Swain, 1985; Proffitt และ คณะ, 1986) เพราะลูปที่ยุงยากจะทำให้
 - ก. ผู้ป่วยได้รับความสบายน้อยลง และทำความสะอาดยากขึ้น
 - ข. เสียเวลาในการตัดลวดนาน (Chair time มาก)
 - ค. ลวดหักหรือเสียรูปร่างได้ง่าย

2. ลูบควรมีความปลอดภัยในการเคลื่อนฟัน (fail safe) หมายถึง ลูบจะหยุดให้แรงเอง ถ้าผู้ป่วยไม่กลับมาพบทันตแพทย์ตามนัดฟันก็จะเคลื่อนที่ตามที่ทันตแพทย์ต้องการเท่านั้น (Proffit และคณะ, 1986)

3. มีความแข็งแรงเพียงพอ ถ้าลวดยาวมากความแข็งแรงจะลดลง ทำให้ลวดมีการบิดเบี้ยวได้ง่าย (Hazel และ West, 1986; Proffit และคณะ)

4. ให้แรงที่เหมาะสม (optimum force) โดยไม่เปลี่ยนรูปร่างถาวร (Graber และ Swain, 1985)

5. ให้แรงคงที่ (Constant force) ตลอดระยะเวลาการรักษา (Graber และ Swain)

การออกแบบลูปที่สมบูรณ์ควรให้แรงที่ต่อเนื่อง โดยทำให้ฟันเคลื่อนที่ได้ 1 มม. ต่อเดือน แต่ระยะเวลาการปรับลวดโดยไม่เกิดการเปลี่ยนรูปร่างถาวรไม่ควรเกิน 2 มม. เพราะถ้าผู้ป่วยไม่มาตามนัด 2 เดือนฟันจะหยุดเคลื่อนที่ โดยปกติจะปรับระยะลวด 1-2 มม. ต่อครั้ง (วัชระ เพชรรูปต์, 2527, Proffit และคณะ, 1986)

การออกแบบลูปขั้นกับ (Nikolai, 1980)

1. ขนาดลวด : ลวดใหญ่มีความยาวมากให้แรงเท่ากับ ลวดขนาดเล็ก แต่มีความยาวสั้นกว่า ดังนั้นลวดขนาดเล็กจึงออกแบบลูปได้ไม่ยุ่งยาก (Proffit และคณะ)
2. ชนิดของลวด : ลวดเหล็กกล้าไร้สนิมให้แรงมากกว่าลวดตีเตนเนียม ดังนั้นลวดเหล็กกล้าไร้สนิมจึงต้องออกแบบลูปยุ่งยากกว่า (Proffit และคณะ)
3. ฟันที่ในการทำลูป : ถ้ามีฟันที่มาก ทำลูปขนาดใหญ่ได้ ความสูงของลูปขั้นกับ ความสูงของ Mucobuccal fold โดยทั่วไปในขากรรไกรบน ความสูงของลูปประมาณ 8 มม. ในขากรรไกรล่าง ความสูงของลูปประมาณ 6 มม.

ดังนั้นอาจทำฮีลิกซ์เพื่อเพิ่มความยาวลวดได้ (Fisher, 1957 ; วัชร เพชรรูปต์, 2527)

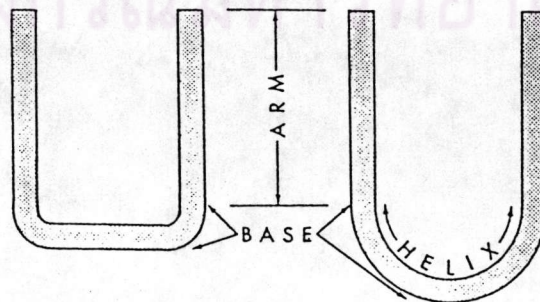
4. การทำงานของลูป : ลูปแบบเปิด (Opened loop) เหมาะสำหรับเปิดช่องว่าง
ลูปแบบปิด (Closed loop) เหมาะสำหรับปิดช่องว่าง
(Stoner, 1960; Stoller, 1971)

หน้าที่ของลูปในเครื่องมือทันตกรรมจัดฟัน ดังนี้

1. ลดขนาดแรง
2. ลดความแข็งคิง
3. เพิ่มระยะเวลาการปรับลวดโดยไม่เกิดการเปลี่ยนรูปร่างถาวร
4. เปลี่ยนแปลงคุณสมบัติของการยืดหยุ่น (elastic properties) ของลวด (Thurrow, 1982) เช่น เพิ่มขีดยืดหยุ่น (elastic limit) (Kobayashi, 1985)
5. เป็นการเพิ่มส่วนประกอบของลวดคิง ทำให้สามารถทำหน้าที่ได้เพิ่มขึ้น เช่น ตะขอ (hook) ใช้เกี่ยวสายหรือ stop เพื่อป้องกันการเคลื่อนที่ของฟันกรามแท้มาด้านหน้า (Thurrow, 1982)

ส่วนประกอบของลูป (Thurrow, 1982)

1. แขนของลูป (arm)
2. ฐานของลูป (base)
3. ฮีลิกซ์ (helix)



รูปที่ 16 แสดงส่วนประกอบของลูป

ส่วนประกอบของลูปมีผลต่อความแข็งแรง, ความแข็งแรงและระยะเวลาปรับลวดโดย
ไม่เกิดการเสีรูปร่างถาวร ตามตารางที่ 2 โดย

1. แขนของลูป คือ ระยะจากส่วนโค้งของลูปถึงฐานของลูป

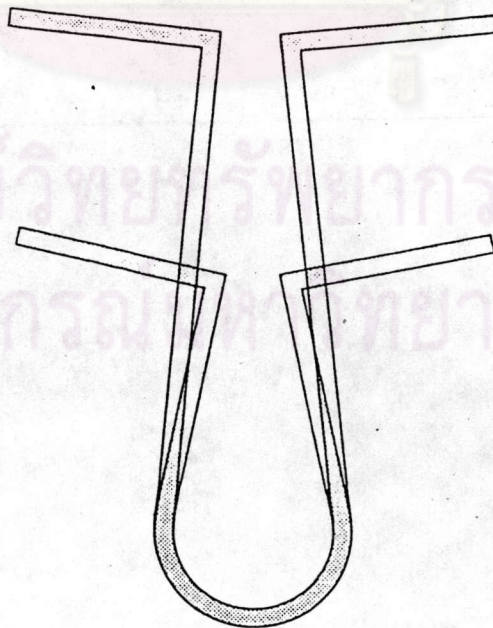
ความยาวของแขนลูปมีผลต่อ ความแข็งแรง, ระยะเวลาปรับลวดโดยไม่เกิด
การเสีรูปร่างถาวร, ความแข็งแรง และ การบิดเบี้ยว ดังนี้

1.1 ความยาวของแขนลูป เพิ่มขึ้น ความแข็งแรงจะลดลงโดยความยาวของ
แขนลูปเพิ่มขึ้น 2 เท่า ความแข็งแรงจะลดลง 4 เท่า

1.2 ความยาวของแขนลูป เพิ่มขึ้น ระยะเวลาปรับลวดโดยไม่เกิดการ
เสีรูปร่างถาวร จะเพิ่มขึ้น แต่ความแข็งแรง (strength) ลดลง

1.3 ความยาวของแขนลูป เพิ่มขึ้นจะช่วยลดการบิดเบี้ยวของลวดลง นั่นคือ
ช่วยลดการเคลื่อนผันแบบทึบปิงได้ (รูปที่ 17)

ความยาวของแขนลูปมีผลต่อขนาดแรงมากกว่าฐานของลูป(Thurrow, 1982;
Kobayashi, 1985).



รูปที่ 17 แสดงการเพิ่มความยาวของแขนลูปจะช่วยลดการบิดเบี้ยวของลวดลง



2. ฐานของลูป (base) เป็นส่วนที่เชื่อมต่อกันระหว่างแขนของลูป
จะมีผลต่อความแข็งดิ่งน้อย แต่มีผลต่อระยะเวลาการปรับลวดโดยไม่เกิดการ
เสีรูปร่างอย่างถาวรมากกว่า โดยฐานของลูปเพิ่มขึ้นจะมีระยะเวลาการปรับลวดโดยไม่เกิดการ
เสีรูปร่างอย่างถาวรได้เพิ่มขึ้นและการเพิ่มความยาวฐานของลูปจะทำให้อัตราโมเมนต์ - แรง
เพิ่มขึ้น (Burstone, 1976) แต่ไม่มีผลต่อความแข็งแรงของลูป
3. ฮีลิคซ์ (helix) เป็นส่วนของวงกลมเล็กที่ตัดซ้อนกันในส่วนของลูป
การตัดฮีลิคซ์ควรมีขนาดเส้นผ่าศูนย์กลางอย่างน้อย 6 เท่าของขนาดลวด
ฮีลิคซ์ทำให้เกิดผลกระทบดังนี้
- ขนาดแรงลดลง (Stoner, 1960; Swartz, 1981)
 - ความแข็งดิ่งลดลงมาก เนื่องจากความยาวเพิ่มขึ้น ดังนั้น ถ้ามีฮีลิคซ์
ขนาดใหญ่ ควรจะลดความสูงของลูปลง
 - ระยะเวลาการปรับลวดโดยไม่เกิดการเสีรูปร่างอย่างถาวรเพิ่มขึ้น (Swartz;
Kobayashi, 1985)
 - ขนาดแรงมีอัตราการใช้เปลี่ยนแปลงลดลง เนื่องจากมีอัตรา
โหด-ดีเฟลคชันลดลง (Kobayashi)
 - ลดการเกิดทึบของฟันที่อยู่ใกล้ลูป (Jarabak และ Fizzell,
1972; Nikolai, 1985)

		Stiffness	Strength	Range
Arm length	A	$1/A^2$	$1/A$	A
Base length				
Diameter of helix	B	$1/B$	No effect	B
Number of helix				

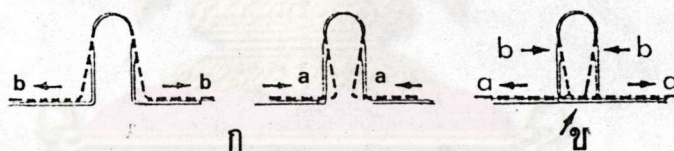
ตารางที่ 2 แสดงส่วนประกอบของลูปที่มีผลต่อความแข็งดิ่ง, ความแข็งแรงและ
ระยะเวลาการปรับลวดโดยไม่เกิดการเสีรูปร่างอย่างถาวร

จากการศึกษาของ Stoller (1971) พบว่า แบบของลูปจะมีผลต่อการทำงาน (Action) ของลูปมาก กล่าวคือ

1. การทำงานภายในโมเลกุลของลูปหรือฮีลิซ (Internal molecular action of loop or helix) จะมีแนวโน้มกลับสู่สภาพเดิมภายหลังจากตัดให้เป็นลูปหรือฮีลิซแล้วโดยกลับสู่สภาพลดตรงก่อนตัด ดังนั้น ลูปแบบเปิดจึงมีแนวโน้มจะกลับสู่สภาพเดิม (รูปที่ 18 ก bb) จึงไม่เหมาะที่จะทำให้เกิดแรงโดยการขยายลูปควรให้แรงในลักษณะการกดลูปมากกว่า (รูปที่ 18 ก aa)

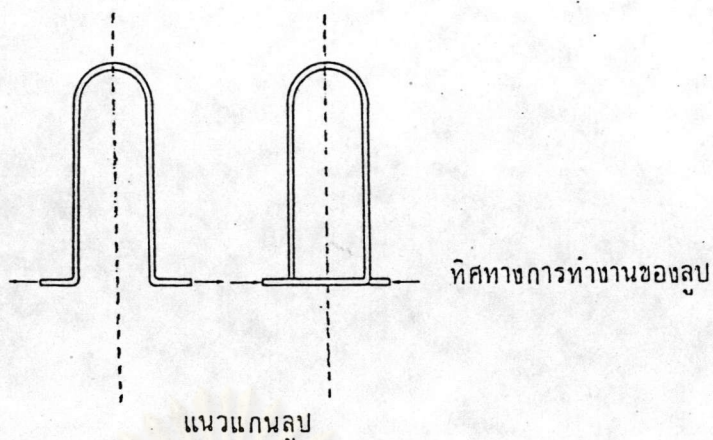
ลูปแบบปิดควรจะปรับลดโดยการดึงขาสองข้างของลูปออกจากกัน (รูปที่ 18 ข aa)

Thurow (1982) กล่าวว่าประสิทธิภาพของแรงจะดีเมื่อให้แรงแก่ลูปไปตามทิศทางการม้วนลูป



รูปที่ 18 แสดงการทำงานของลูปแบบเปิด (ก) ลูปแบบปิด (ข)

2. ทิศทางการทำงานของลูป (loop action) จะตั้งฉากกับแนวแกนลูป โดยลูปที่มีแนวแกนอยู่ในแนวตั้ง จะเหมาะสำหรับเคลื่อนฟันในแนวระนาบ และลูปที่มีแนวแกนอยู่ในแนวระนาบ จะเหมาะสำหรับเคลื่อนฟันในแนวตั้ง (รูปที่ 19)



รูปที่ 19 แสดงการทำงานของลูปขึ้นอยู่กับแนวแกนลูป

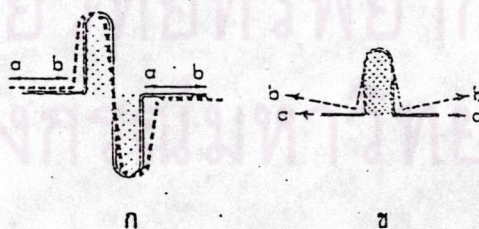
3. ชนิดของลูป

3.1 Balanced vertical loop

ลูปชนิดนี้สามารถควบคุมได้ทั้งขนาดและทิศทางของแรง มีข้อเสีย คือ ทัศนภาพการทำงานทางด้านบดเคี้ยว (รูปที่ 20 ก)

3.2 Unbalanced single vertical loop

ลูปชนิดนี้สร้างขึ้นเพื่อแก้ไขข้อเสียของ Balanced vertical loop. โดยเพิ่มความยาวลูปทำให้การบิดเบือนลดลง (รูปที่ 20 ข)



รูปที่ 20 แสดงทิศทางการทำงานของลูป ของ

ก. Balanced vertical loop (ตามแนว ab)

ข. Unbalanced single vertical loop (ตามแนว bb)

3.3 Horizontal loop จะควบคุมขนาดและทิศทางของแรงได้ดี และมีประสิทธิภาพ แบ่งเป็นรูปแบบต่างๆ ดังนี้ (รูปที่ 21)

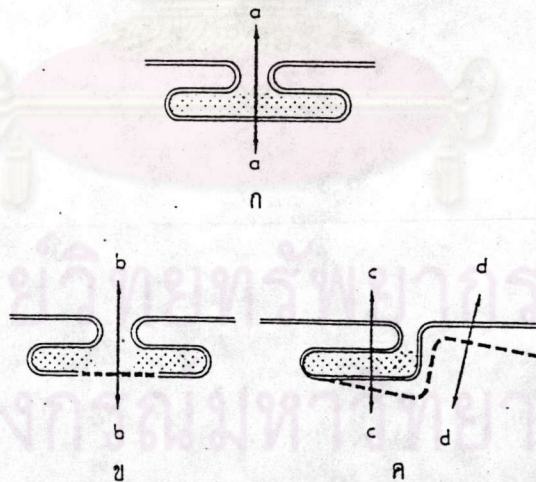
ก. Horizontal T loop

ดัดแปลงมาจาก Balanced vertical loop ทำให้ควบคุมทิศทางของการเคลื่อนที่ได้ดีและเป็นรูปที่ดีที่สุด (optimize design) เนื่องจากมีลาดในบริเวณส่วนฐานมาก ทำให้เพิ่มโมเมนต์ของการเคลื่อนที่ (Burstone, 1976) นอกจากนี้ยังพบว่าให้แรงในแนวตั้งได้อย่างแท้จริง ทำให้ปรับระดับพื้นได้ด้วย

ข. Split T Horizontal loop เป็นรูปที่เหมาะสมในการกดพื้นหน้าโดยพื้นหลังคงที่

ค. Unbalanced T loop หรือ L loop

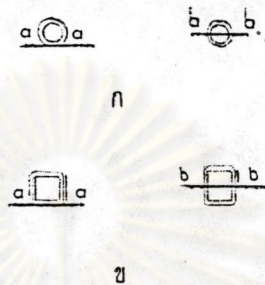
คือ Horizontal T loop ที่ทำข้างเดียว หรือเป็นรูปตัว L เหมาะกับกรณีที่ต้องการเคลื่อนที่แบบทีปิง



รูปที่ 21 แสดงทิศทางการทำงานของ

- ก. Horizontal T loop (ตามแนว aa)
- ข. Split T Horizontal loop (ตามแนว bb)
- ค. Unbalanced T loop หรือ L loop (ตามแนว cc แต่พื้นมีการเคลื่อนที่ตามแนว dd)

3.4 Helical และ Box loop เป็นลูปที่ตัดวิธีเดียวกัน คือเป็นรูปร่างกลมที่เรียกว่า helical loop หรือลูปสี่เหลี่ยมที่เรียกว่า box loop ซึ่งถ้าจะควบคุมทิศทางของแรงให้ไม่มีการหมุนของ Helical หรือ Box loop ต้องให้ขาของลูปอยู่ตรงกลาง (รูปที่ 22 ก, ข)



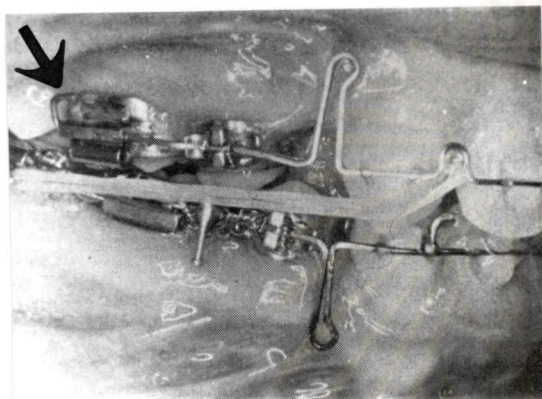
รูปที่ 22 แสดงทิศทางการทำงานของลูป

- ก. Helical loop (ตามแนว aa เกิดการหมุนของลูป
ตามแนว bb ไม่เกิดการหมุนของลูป)
- ข. Box loop (ตามแนว aa เกิดการหมุนของลูป
ตามแนว bb ไม่เกิดการหมุนของลูป)

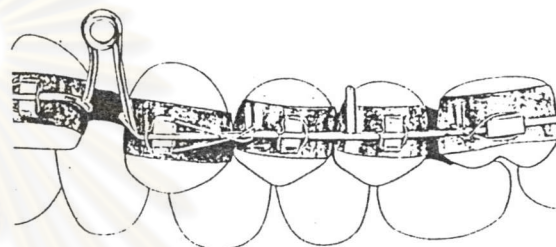
วิธีทำให้เกิดแรงดึงในลูป

1. งอปลายลวดด้านหลัง (Cinch back) (Stoner และ Lindquist, 1969, Vol. 1 ; Ricketts และ คณะ, 1980 ; Proffit และคณะ, 1986) เป็นวิธีที่สะดวกและใช้โดยทั่วไปแต่มีข้อเสีย คือ เมื่อต้องถอดลวดออกมาปรับระนาบจะทำได้ยาก (รูปที่ 23 ก)
2. พุกลวดมัดกับตะขอ (hook) หรือลูปที่อยู่หน้าต่อท่อข้างแก้มของฟันกรามแท้ที่แรก (Teiback) มีข้อดี คือ เมื่อถอดลวดออกมาปรับระนาบจะทำได้ง่าย (Strang และ Thompson, 1958; Proffit และ คณะ) (รูปที่ 23 ข)
3. ใช้ยางดึงลูป เช่น Elastic Thread (Stoner และ Lindquist), Elastic traction class II (Walther, 1966; Tayer, 1981; Proffit และ คณะ), A-elastic chain module (Stoner และ Lindquist) วิธีนี้มีข้อเสีย คือ ทำความสะอาดยาก และต้องอาศัยความร่วมมือจากผู้ป่วยในการเปลี่ยนยาง (รูปที่ 23 ค)

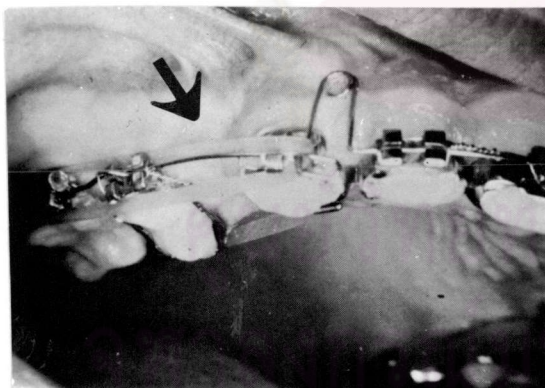
4. ใช้เครื่องมือนอกปากช่วยทำให้เกิดแรงที่ลูป เช่น Cervical Head gear ที่อาศัยส่วนของต้นคอส่งแรงไปยังลูปในช่องปาก (Fisher, 1957; Stoner และ Lindquist, 1969) (รูปที่ 23 ง)



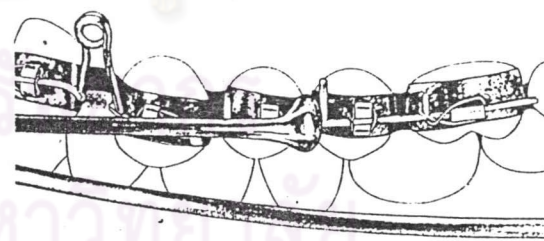
ก



ข



ค

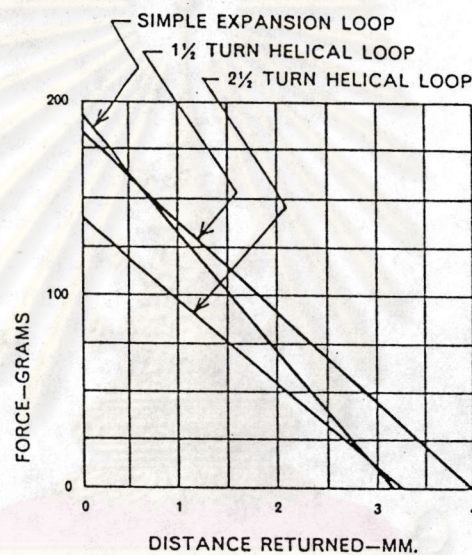


ง

รูปที่ 23 แสดงวิธีทำให้เกิดแรงดึงของลูปในช่องปาก โดยการ

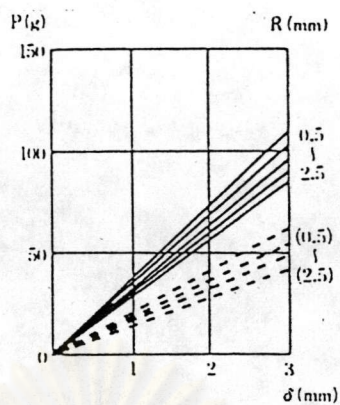
- | | |
|----------------------|------------------------|
| ก. งอปลายลวดด้านหลัง | ค. ใช้ยางดึงลูป |
| ข. ผูกลวดมัดกับตะขอ | ง. ใช้เครื่องมือนอกปาก |

Jarabak และ Fizzell (1977) ศึกษาแรงที่เกิดจากลูปแบบต่าง ๆ กัน พบว่าแรงเริ่มต้นจากการปรับลวดในลูปที่มีความยาวลวดน้อยจะให้แรงมากกว่า ลูปที่มีความยาวลวดมากกว่า เช่น Simple vertical loop จะให้แรงเริ่มต้นมากกว่า Vertical loop with helix $1\frac{1}{2}$ - $2\frac{1}{2}$ รอบ แต่ระยะการปรับลวดโดยไม่เกิดการเสีสรูปอย่างถาวรจะน้อยกว่า

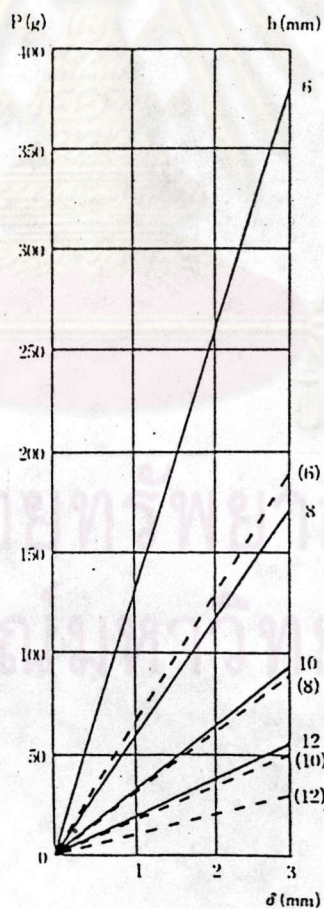


รูปที่ 24 กราฟแสดงการเปรียบเทียบขนาดแรงของลูปในแนวตั้งที่ไม่มีฮิลิกซ์ และมีฮิลิกซ์ $1\frac{1}{2}$ และ $2\frac{1}{2}$ รอบ

จากการศึกษาของ Kobayashi (1985) พบว่าความสูงและรัศมีความโค้งของลูป มีผลทำให้แรงลดลงทั้งในลูปที่มี และไม่มีฮิลิกซ์ โดยความสูงของลูปมีผลต่อขนาดแรงมากกว่ารัศมีความโค้งของลูป



รูปที่ 25 กราฟแสดงการเปรียบเทียบขนาดแรง-ระยะการปรับลดระหว่าง Simple loop กับ Helical loop โดยเปลี่ยนแปลงรัศมีความโค้งของลูป 0.5-2.5 มม. เมื่อมีความสูงของลูป 10 มม.



รูปที่ 26 กราฟแสดงการเปรียบเทียบขนาดแรง-ระยะการปรับลดระหว่าง Simple loop กับ Helical loop โดยเปลี่ยนแปลงความสูงของลูป 6-12 มม. เมื่อมีรัศมีความโค้งของลูป 1.5 มม.

จากทฤษฎีของแคสทิกเลียโน (Castiglione)

ดีเฟลคชันของ Simple loop

$$\delta_1 = \frac{2ph^3}{B} \left[\frac{1}{3} + \frac{(\pi - 1)(R)}{2h} + \frac{(3\pi)(R)^2}{h^2} + \frac{(3\pi - 7)(R)^3}{3h^3} \right]$$

$$= \frac{2p}{B} \phi_1 (h, R)$$

ดีเฟลคชันของ Helical loop

$$\delta_2 = \frac{2ph^3}{B} \left[\frac{1}{3} + \frac{(3\pi - 1)(R)}{2h} + \frac{3(1 - \pi)(R)^2}{h^2} + \frac{(9\pi - 3)(R)^3}{7h^3} \right]$$

$$= \frac{2p}{B} \phi_2 (h, R)$$

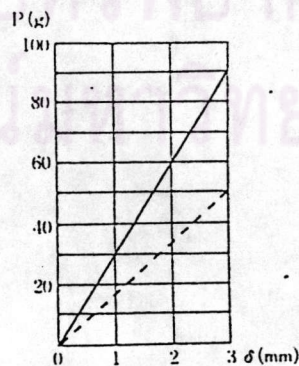
P = แรง

h = ความสูงของลูป

B = flexural rigidity ($E a^3 b / 12$)

E = โมดูลัสของการยืดหยุ่น

a, b = ความสูงและความกว้างของลวดเหล็ก

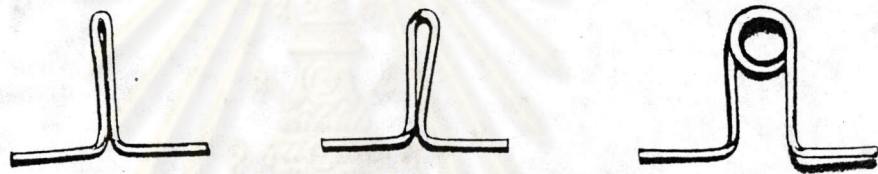


รูปที่ 27 กราฟแสดงการเปรียบเทียบขนาดแรง - ระยะการปรับลด ระหว่าง Simple loop กับ Helical loop ที่ให้ลวดเอลจิลอย ขนาด 0.016 นิ้ว ลูปสูง 10 มม. และมีรัศมีมีความโค้งของลูป 1.5 มม.

พบว่า $\epsilon / \epsilon_1 = 1.83$ หมายถึง ลูบที่มีอีลาสติกจะให้แรงน้อยกว่าเมื่อปรับลวดเท่ากัน

Burstone(1981), Graber และ Swain(1985) กล่าวว่า การเพิ่มความยาวลวดโดยการทำลูบ มีผลดี ดังนี้

1. ทำให้มีความสามารถในการคืนตัว (flexibility) เพิ่มขึ้น
2. ระยะการปรับลวดเพิ่มขึ้นโดยไม่เกิดการเสีรูปร่างถาวร
3. เพื่อลดการงอเป็นมุม ทำให้ลดการเสีรูปร่างถาวรและลดการหักของลวด



รูปที่ 28 แสดงการตัดลวดที่มีการหักงอเป็นมุมแตกต่างกันมีผลต่อการเสีรูปร่างถาวรและการหักของลวดจากมากไปน้อยตามลำดับ

นอกจากนี้ การเพิ่มความยาวโดยการทำอีลาสติกหรือเปลี่ยนรูปร่างลูบนั้น พบว่า

1. อัตราไหลดต่อดีเฟลคชัน (Load-deflection Rate) ลดลง
2. ระยะการปรับลวดโดยไม่เกิดการเสีรูปร่างถาวร เพิ่มขึ้น
3. ความยืดหยุ่นที่มากที่สุด (Maximum elastic) ไม่เปลี่ยนแปลง เมื่อแบบของลูบเหมาะสม ซึ่งแบบของลูบจะมีผลต่อแรงต่ออัตราของไหลด - ดีเฟลคชัน, ขนาดแรงที่มากที่สุด (Maximum load) และระยะดีเฟลคชันที่มากที่สุด (Maximum deflection) ตามตารางที่ 3 นอกจากนี้ ขนาดแรงยังขึ้นกับขนาดลวดโดยแปรผันตามขนาดลวดด้านที่ตัดลูบยกกำลัง 3 (h^3) และแปรผกผันกับความยาวลวดยกกำลัง 3 ($1/L^3$)



Design factor	Load-deflection rate	Maximum load	Maximum deflection
Addition of wire without changing length	Decreases	No change	Increases
Activation in direction of original bending		Increases	Increases
Alteration of cross section to rectangular form	If rate is maintained as constant	Increases as $\frac{1}{h}$	Increases as $\frac{1}{h}$

ตารางที่ 3 แสดงผลของการออกแบบลูปต่ออัตราโหลด - คีเฟลคชัน, ขนาดแรงที่มากที่สุด และระยะคีเฟลคชันที่มากที่สุด

แต่ปริมาณลวดที่เพิ่มขึ้นสำคัญน้อยกว่าตำแหน่งที่เราเพิ่มลวดนั้น คือ แบบของลูปมีผลต่อขนาดแรงมากกว่าความยาวลวด (Burstone และ Koenig, 1976; Burstone, 1982; Nikolai, 1985)

Nikolai (1985) กล่าวถึง การตัดลวดมีผลต่อระยะการทำงานของลูป (loop range) โดยในส่วนของลูปที่มีการลวดมากจะมีระยะการปรับลวดโดยไม่เกิดการเสีรูปร่างถาวรลดลง และพบว่าลวดขนาดใหญ่ให้ความแข็งแกร่งเพิ่มขึ้นในทุกการออกแบบของลูป ตามตารางที่ 4

Wire Size (mils)	Loop description	Wire in loop (mm)	Stiffness (gm/mm)	Range (mm)
17 × 25	Teardrop	14	325	1.7
21 × 25			525	1.8
17 × 25	Bulbous	15	275	1.9
21 × 25			430	2.0
17 × 25	Reverse-closing	17.5	355	2.3
21 × 25			610	2.5
17 × 25	Reverse-closing with Helix	25	245	2.5
21 × 25			455	2.9

ตารางที่ 4 แสดงความแข็งแกร่ง และระยะการปรับลวด เมื่อเปลี่ยนขนาดลวด, แบบของลูป และความยาวลวด

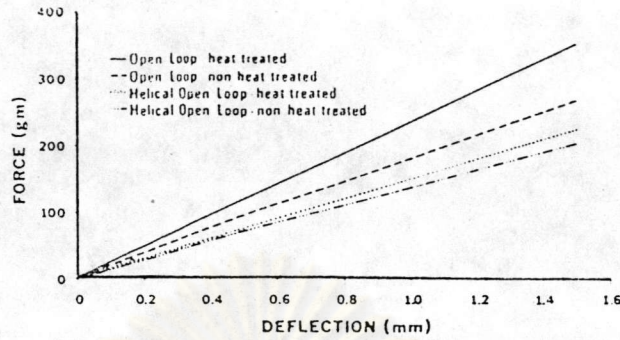
จากการทดลองของ Mahler และ Goodwin (1967) วัดอัตราตีเฟลคชันต่อแรง (Deflection/Force) และขนาดแรงที่มากที่สุดในช่วงยืดหยุ่น (elastic force limit) ในลวดกลมเหล็กกล้าไร้สนิม 4 บริษัทและลวดกลมโอบอลด์ - โคโรเมียมบริษัทเดียว พบว่าการออกแบบเป็นสิ่งที่มีความกระทบต่อการทำงานของเครื่องมือมากที่สุด และการเพิ่มอีลิกซ์จะ ทำให้แรงลดลงทั้งในลูปแบบเปิดและลูปแบบปิด ตารางที่ 5

Trade name	Open loop		Closed loop		Helical open loop		Helical closed loop	
	D/F	F.L.	D/F	F.L.	D/F	F.L.	D/F	F.L.
Australian	.46	430	.51	740	.71	350	.85	590
Oscar	.46	410	.51	690	.66	350	.81	570
Unitek	.44	450	.48	630	.70	390	.85	490
Unitek Hi-T	.43	530	.52	920	.67	570	.79	1060
Elgiloy red	.45	350	.53	670	.64	350	.80	510
Elgiloy green	.46	300	.49	550	.70	280	.87	420
Elgiloy yellow	.40	290	.44	410	.64	300	.81	370

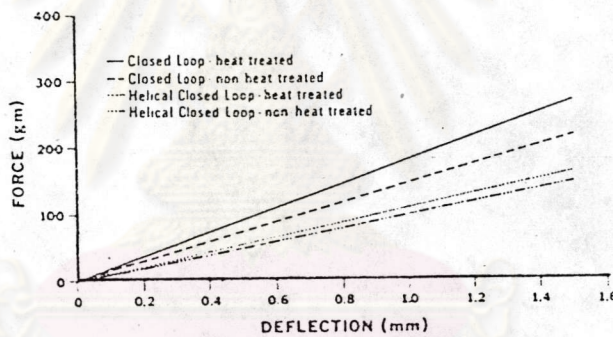
ตารางที่ 5 แสดงอัตราตีเฟลคชันต่อแรง (D/F) และขนาดแรงที่มากที่สุดในช่วงยืดหยุ่น (F.L.) เมื่อเปลี่ยนชนิดลวด และแบบของลูป

Williams, Caputo และ Chaconas (1978) ทำการทดลองในลวด Blue Elgiloy ขนาด 0.016 x 0.016 นิ้ว ที่มีแบบของลูปเป็นลูปแบบเปิดและแบบปิดทั้งที่มีอีลิกซ์ และไม่มีอีลิกซ์. พบว่า

1. ลูปแบบปิดให้แรงได้น้อยกว่าลูปแบบเปิดเมื่อมีระสิทธิภาพปรับลวด เท่ากัน
2. เมื่อเพิ่มอีลิกซ์จะทำให้แรงลดลงทั้งในลูปแบบเปิด และลูปแบบปิด



รูปที่ 29 กราฟแสดงขนาดแรง(กรัม) และระยะการปรับลด(มม.) ของ
ลูปแบบเปิด ที่มีฮีลิกซ์และไม่มีฮีลิกซ์



รูปที่ 30 กราฟแสดงขนาดแรง(กรัม) และระยะการปรับลด(มม.) ของ
ลูปแบบปิด ที่มีฮีลิกซ์ และไม่มีฮีลิกซ์

ในปี ค.ศ.1974 Chaconas, Caputo และ Hayashi ทำการทดลอง
เปรียบเทียบผลของขนาดลวดและรูปร่างของลูปที่ใช้ดิ่งพื่นเขี้ยวชนิดต่าง ๆ โดยทำการทดลอง
ใน Squashed loop , Closed vertical loop , Closed vertical loop with
helix และ Double closed loop with helix พบว่า (ตารางที่ 6)

1. ลวดขนาดเล็กให้แรงได้น้อยกว่าลวดขนาดใหญ่ ในทุกแบบของลูป
2. การเพิ่มความยาวลวดโดยการเปลี่ยนแบบของลูปจะทำให้แรงลดลง
3. ระยะการปรับลดเพิ่มขึ้นทำให้เกิดแรงเพิ่มขึ้น ในทุกกลุ่มตัวอย่าง

Wire size (inches)	Activation (mm.)	Squashed loop	Closed vertical loop	Closed vertical loop with helix	Double closed loops with helix
0.017 by 0.025	0.5	358	364	177	
	1.0	637	650	365	
	1.5	896	832	533	
	2.0	1120	1040	728	
	2.5			858	
0.017 by 0.022	0.5	356	338	188	
	1.0	624	572	312	
	1.5	832	831	455	
	2.0	1025	1040	572	
	2.5			715	
0.016 by 0.022	0.5	369	255	104	
	1.0	554	468	273	
	1.5	740	702	390	
	2.0	870	909	520	
	2.5			624	
0.016 by 0.016	0.5	280	182	112	
	1.0	395	403	234	44
	1.5	520	533	325	
	2.0	624	689	417	97
	2.5		832	494	
	3.0			572	137
	3.5				
	4.0				156
	4.5				
5.0				253	

ตารางที่ 6 แสดงขนาดแรง (กรัม) เมื่อเปลี่ยนแปลงขนาดลวด,
แบบของลูป และระยะการปรับลวด (มม.)

ในปี ค.ศ. 1980 Lane และ Nikolai ทำการศึกษาลวดเหลี่ยมเหล็กกล้าไร้สนิม
ของ 2 บริษัท ในแบบของลูป 3 แบบ ที่มีความสูงของลูป 7 มม. ได้แก่

Tear-drop ใช้ลวด 15 มม.

Simple reverse closing ใช้ลวด 18 มม.

Reverse closing with helix ใช้ลวด 25 มม.

จากตารางที่ 7 พบว่า 1. ลวดขนาดใหญ่ให้แรงได้มากกว่าลวดขนาดเล็กของทั้ง 2 บริษัท

2. ลวดต่างบริษัทกันจะมีคุณสมบัติในการให้ขนาดแรงจากการปรับลวดต่างกัน โดยลวดบริษัท Unitek ให้แรงได้มากกว่าลวดจากบริษัท TP

3. ลูปแบบต่างกันจะให้ขนาดแรงจากเครื่องมือต่างกัน โดย Simple reverse closing loop ให้แรงได้มากที่สุด รองลงมาเป็น Tear drop loop และ Reverse closing with helix จะให้แรงน้อยที่สุดในทุกขนาด และทั้ง 2 บริษัท

นอกจากนี้ระะการปรับลวดโดยไม่เกิดการเสีรูปร่างจะขึ้นอยู่กับขนาดลวดและแบบของลูป โดยขนาดลวดทำให้ระะการปรับลวดลดลง (ตารางที่ 8)

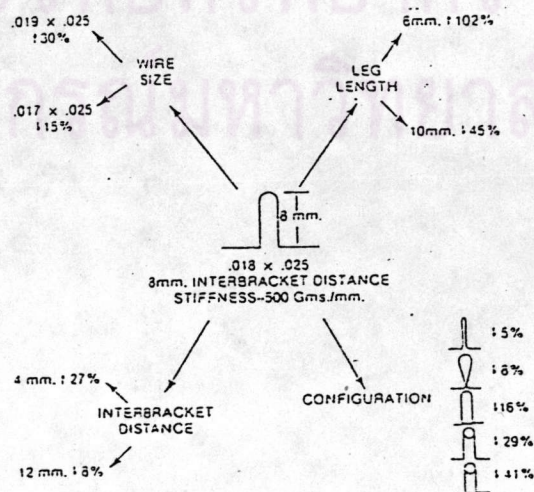
Loop	TP		Unitek	
	.019x.026"	.021x.027"	.019x.025"	.021x.025"
Tear-drop loop	365	576	448	591
Simple reverse closing loop	436	588	500	726
Reverse closing with helix loop	288	394	380	489

ตารางที่ 7 แสดงความแข็งดึง(กรัม/มม.) ของลวดบริษัท TP และ Unitek
เมื่อมีแบบของลูป และขนาดลวดต่างกัน

Loop	TP		Unitek	
	.019x.026"	.021x.027"	.019x.025"	.021x.025"
Tear-drop loop	1.7	1.3	1.8	1.4
Simple reverse closing loop	1.9	1.8	2.6	2.0
Reverse closing with helix loop	2.4	2.2	3.0	2.8

ตารางที่ 8 แสดงระยะการปรับลวดที่มากที่สุด(มม.) ของลวดบริษัท TP และ Unitek เมื่อมีแบบของลูป และขนาดลวดต่างกัน

Proffit และคณะ (1986) กล่าวถึงขนาดลวด, ความสูงของลูป, แบบของลูป และระยะระหว่างแบรacket มีผลต่อขนาดแรง ตามรูปที่ 31

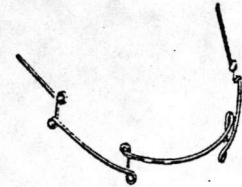


รูปที่ 31 แสดงสิ่งที่มีผลต่อขนาดแรงเป็นเปอร์เซ็นต์

Ricketts และคณะ (1980) ศึกษาแบบของลูปและระยะการปรับลด
คอนแทรกชัน อาร์ช มีผลต่อขนาดแรง ดังนี้

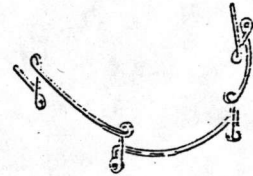
1. Mandibular Contraction utility arch

- ระยะการปรับลด 1 มม. ให้แรง 50 กรัม
2 มม. ให้แรง 150 กรัม
3 มม. ให้แรง 230 กรัม
4 มม. ให้แรง 300 กรัม

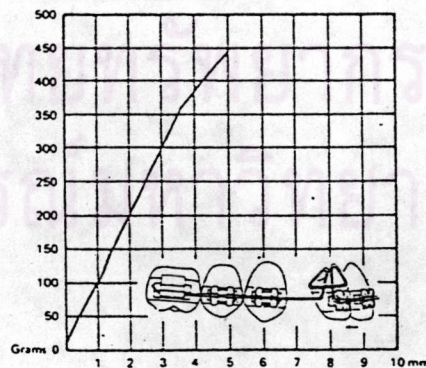


2. Maxillary Contraction utility arch

- ระยะการปรับลด 1 มม. ให้แรง 50 กรัม
2 มม. ให้แรง 90 กรัม
3 มม. ให้แรง 140 กรัม
4 มม. ให้แรง 260 กรัม



นอกจากนี้ยังพบว่าลวดคอนแทรกชัน อาร์ช ขนาด 0.016 x 0.016 นิ้ว ชนิด
โคมอลด์ - โครเมียม แบบ Double delta loop มีขนาดแรงเพิ่มขึ้น เมื่อระยะ
การปรับลดเพิ่มขึ้น ตามรูปที่ 32 และแนะนำให้มีระยะการปรับลดครั้งละ 2 มม.



รูปที่ 32 กราฟแสดงความสัมพันธ์ของขนาดแรง - ระยะการปรับลดของลวด
คอนแทรกชัน อาร์ช แบบ Double delta loop

3. แบบของการเคลื่อนฟัน (Type of Tooth Movement)

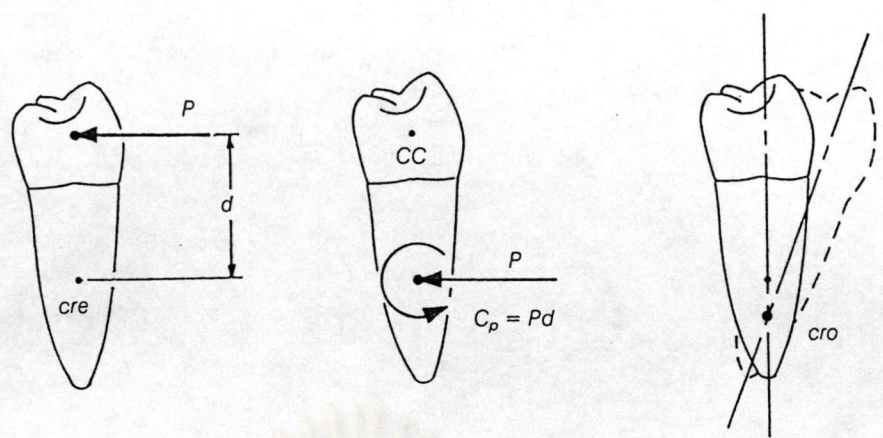
(Nikolai, 1985; Proffitt และคณะ, 1986)

ในที่นี้จะขอล่าวถึงการเคลื่อนฟัน 3 แบบ ได้แก่

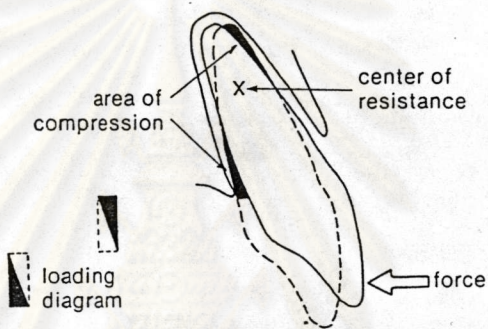
1. การเคลื่อนที่แบบทipping (Tipping Movement)

เป็นการเคลื่อนตัวฟัน และรากฟันไปในทิศทางตรงข้ามกัน ประกอบด้วย

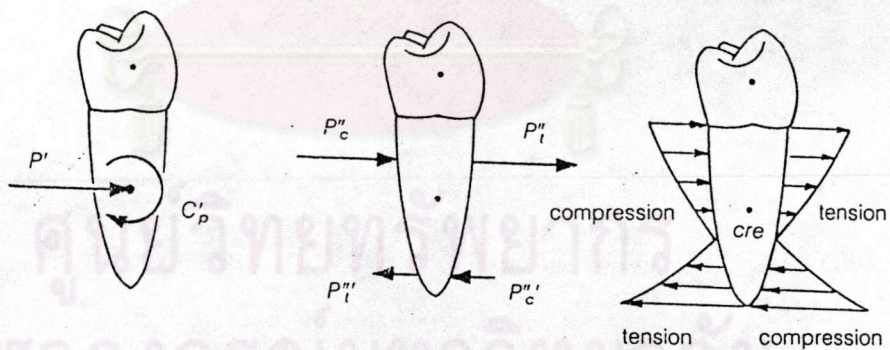
- Force system : เป็นการเคลื่อนของฟันที่เกิดจากแรงลัพธ์เพียงแรงเดียว
กระทำกับตัวฟัน โดยไม่ผ่าน Center of resistance
(CRE) (รูปที่ 33 ก)
- Couple-Force ratio : $C/F = 0$: มีแรงเพียงแรงเดียว โดยไม่มีแรงคู่ควบ
กระทำกับฟัน (แรงคู่ควบ = 0)
- Center of rotation : อยู่ประมาณรอยต่อ Middle Third กับ Apical Third
(CRO) ของรากฟัน ซึ่ง Gottlieb และ Orban อ้างถึงใน
Gianelly และ Goldman (1971) กล่าวว่า เอนอติค
ปริทันต์ (periodontal ligament) บริเวณนี้จะแคบ
ที่สุด และเนื่องจากการละลายของกระดูกชั้นกับขนาดของ
แรงกดที่กระทำต่ออวัยวะปริทันต์ ดังนั้น การเคลื่อนฟัน
แบบนี้จะเกิดแรงกดบริเวณ CRO น้อยที่สุด มีการกระจาย
ของแรง = 0
- การตอบสนองของอวัยวะปริทันต์ : เกิดขึ้นบริเวณที่ถูกแรงกด (Pressure area)
2 ตำแหน่งอยู่คนละด้านของเบ้ารากฟัน (Socket)
โดยด้านหนึ่งอยู่บริเวณสันกระดูกเบ้าฟัน (Alveolar
bone crest) อีกด้านหนึ่งอยู่บริเวณปลายราก ใน
ทำนองเดียวกันก็จะเกิดบริเวณที่ถูกแรงดึง (Tension
area) ขึ้นอีก 2 ตำแหน่งด้วยเช่นเดียวกัน
(รูปที่ 33 ค)



ก.



ข.



ค.

รูปที่ 33 แสดงการเคลื่อนที่แบบทวิขั้ว

ก. Force system

ข. พื้นที่ของกระดูกเขี้ยวรากฟันที่มีแรงกระทำ

ค. การกระจายของแรงในส่วนของอวัยวะปริทันต์



2. การเคลื่อนที่แบบบอดิลี (Bodily Movement)

เป็นการเคลื่อนที่ของตัวฟันและรากฟันไปในทิศทางเดียวกันจะเกิดการเปลี่ยนแปลงของเบ้ารากฟันตลอดทั้งด้าน โดยด้านหนึ่งเป็นด้านที่มีแรงกด อีกด้านหนึ่งเป็นด้านที่มีแรงดึงประกอบด้วย

Force system : เป็นการเคลื่อนที่ของฟันโดยไม่มีการเปลี่ยนแปลงของแนวแกนฟัน เกิดจากแรงเดียวกระทำกับฟันผ่าน CRE ของฟันพอดีแต่ในทางคลินิกไม่สามารถทำได้ เนื่องจาก CRE อยู่ในรากฟันจึงต้องมีแรงคู่ควบเข้ามาเกี่ยวข้องเพื่อให้แรงผ่านจุด CRE (รูปที่ 34 ก)

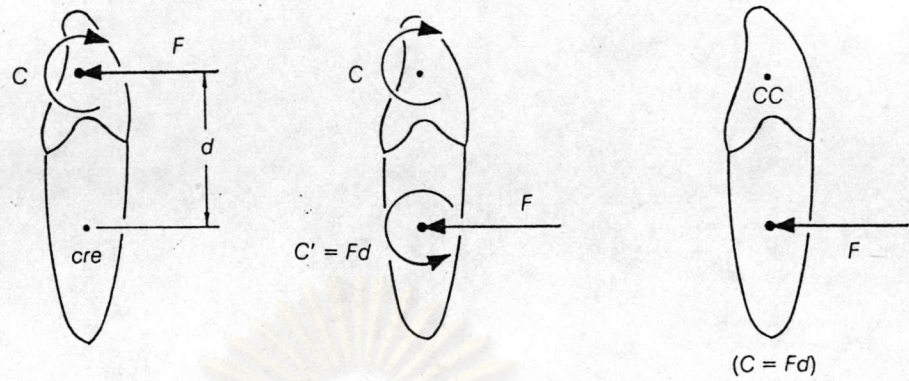
โมเมนต์ของแรงคู่ควบ = โมเมนต์ของแรงเดียวที่กระทำ แต่มีทิศทางตรงข้ามกัน

$$M_{cr} = C' + C = 0$$

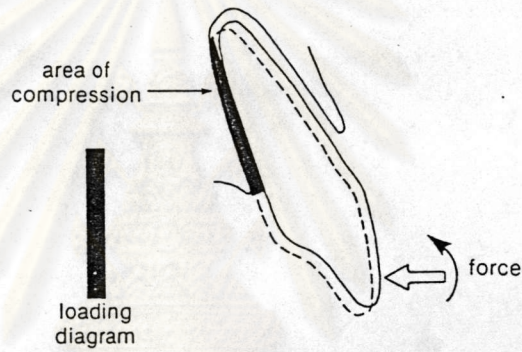
Couple- Force ratio : $C/F = d$ (ระยะจากแบกเกิดถึงจุด CRE โดยปกติ $d = 8-10$) (Burstone, 1976; Proffit และคณะ, 1986)

Center of rotation : อยู่กอนันต์ (Infinity, α)

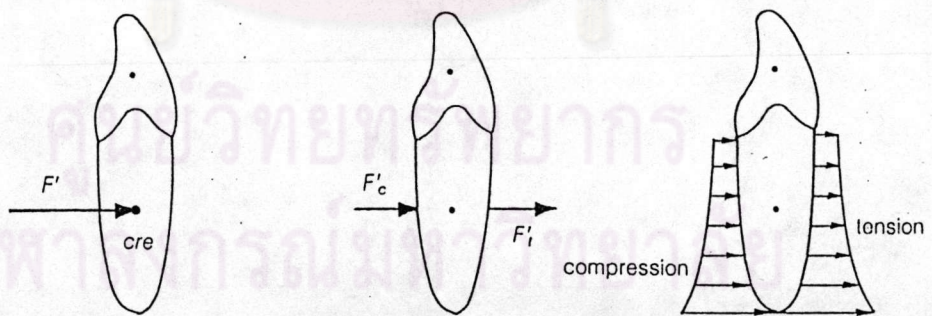
การตอบสนองของอวัยวะปริทันต์ : มีการกระจายของความเครียด (Stress) ไม่สม่ำเสมอ เพราะรากเป็นรูป Taper จุดที่มีความเครียดที่สุด คือ บริเวณปลารากฟัน เนื่องจากปลารากฟันมีพื้นที่น้อยที่สุด (รูปที่ 34 ค)



ก.



ข.



ค.

รูปที่ 34 แสดงการเคลื่อนที่แบบบอดิลี

ก. Force system

ข. พื้นที่ของกระดูกเขี้ยวรากฟันที่มีแรงกระทำ

ค. การกระจายของแรงในส่วนของอวัยวะปริทันต์

3. การกดฟัน (Intrusive Movement)

เป็นการเคลื่อนฟันไปทางปลายราก จะเกิดความดันขึ้นที่ Principal fibers และเกิดการผ่อนคลาย (relaxation) ของเส้นใยเหงือกเหนือกระดูกเบ้าฟัน (supra alveolar fibers) ดังนั้นจะเกิดการละลายของกระดูกตลอดด้านในของเบ้ารากฟันรวมทั้ง บริเวณยอดของกระดูกเบ้ารากฟัน และเนื่องจากเกิดการผ่อนคลายของเส้นใยเหงือกเหนือกระดูกเบ้าฟัน ดังนั้นโอกาสคืนกลับจึงน้อยลง โดยเฉพาะในผู้ป่วยอายุน้อย

การเคลื่อนฟันในลักษณะนี้ ขึ้นกับ ขนาดของแรง และลักษณะทางกายวิภาค เช่น ความกว้างของ Periodontal space และความหนาแน่นของกระดูกเบ้ารากฟัน โดยทั่วไป จะได้ผลดี ถ้ากระทำในผู้ป่วยที่ยังมีการเจริญเติบโตอยู่ เพราะสามารถกดฟันซึ่งที่ต้องการได้ ขณะเดียวกันจะมีการดึง (extrude) ฟันที่ใช้เป็นหลักยึด (Anchorage) ร่วมกับเกิดการเจริญเติบโตในแนวตั้งของกระดูกเบ้าฟัน (alveolar process) บริเวณนั้นด้วย ในผู้ป่วยอายุมาก ต้องทำด้วยความระมัดระวัง เพราะการเคลื่อนฟันชนิดนี้มีโอกาสทำให้เกิดการละลายของ รากฟันบริเวณ 1/3 ของปลายรากฟันได้ เนื่องจากมีแรงกระทำในบริเวณที่แคบมาก คือ ปลายรากฟัน จึงต้องใช้แรงให้น้อยที่สุด (Bustone, 1977) จาก Dellinger's Research ปี ค.ศ. 1967 ที่ศึกษาในลิง อ้างถึงใน Burstone (1977) พบว่า เมื่อใช้แรงมากในการกดฟันจะเคลื่อนน้อยลง แต่รากฟันละลายได้มากขึ้น ประกอบด้วย

Force system : เป็นการเคลื่อนที่ของฟันในแนวตั้งตามแนวแกนฟัน เกิดจากแรงกระทำผ่าน CRE ตามแนวแกนฟัน แต่ในทางคลินิกไม่สามารถทำได้จึงต้องมีแรงคู่ควบเข้ามาเกี่ยวข้อง เพื่อให้มีแรงผ่านจุด CRE ตามแนวแกนฟัน (รูปที่ 34 ก)

โมเมนต์ของแรงคู่ควบ = โมเมนต์ของแรงเดี่ยวที่กระทำกับฟัน แต่มีทิศตรงข้ามกัน

$$M_{cre} = C + C_1 = 0$$

Couple-Force ratio : $C/F = 0.5$ ของความกว้างของตัวฟัน (Faciolingual crown width) (e)

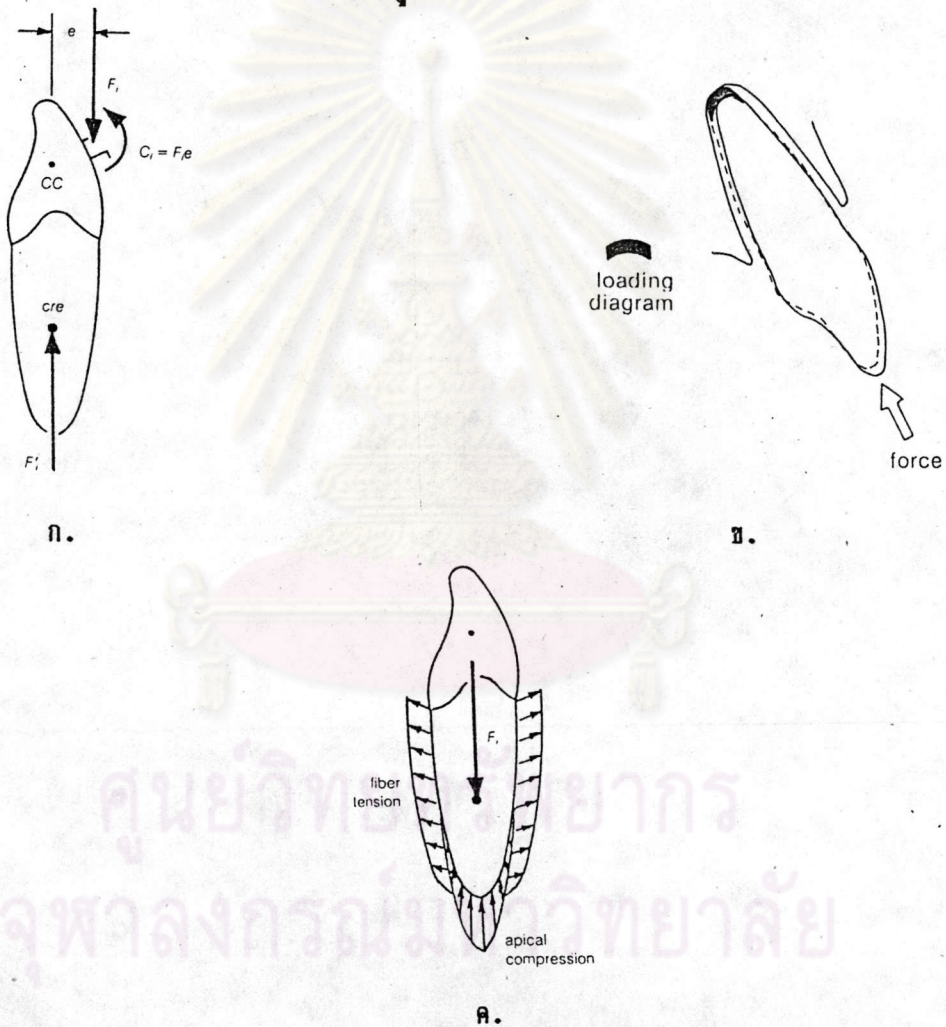
$$M_{cre} = C_1 - F_1 e = 0$$

$$C_1 = F_1 e$$

Center of rotation : อยู่ที่อนันต์ (Infinity, ∞)

การตอบสนองของอวัยวะปริทันต์: Principle fiber ค่อนข้างเหมือนกันโดยตลอดราก แต่มีความดันที่ปลายรากฟันค่อนข้างสูง เนื่องจากเป็นบริเวณเล็กๆ อวัยวะปริทันต์อยู่ด้านข้างจะตอบสนองแบบแรงเฉือนเกิดการละลายของกระดูกที่ปลายรากฟัน ทำให้ฟันเคลื่อนที่ได้

(รูปที่ 34 ค)



รูปที่ 35 แสดงการเคลื่อนฟันแบบกดฟัน

- ก. Force system
- ข. พื้นที่ของกระดูกเขี้ยวรากฟันที่มีแรงกระทำ
- ค. การกระจายของแรงในส่วนของอวัยวะปริทันต์

จากการศึกษาของ Schwarz ในปี 1932 (Hixon และคณะ 1969; Gianelly และ Goldman, 1971; Crabb และ Wilson, 1972; จินตนา ศิริขุมพันธ์, 2533) กล่าวว่า ขนาดแรงที่เหมาะสมในการเคลื่อนที่ของฟันต้องไม่ทำให้เกิดการตีบ (Occlude) ของ หลอดเลือดที่มาเลี้ยงอวัยวะปริทันต์โดยแรงดังกล่าว ต้องอยู่ระหว่าง 20 - 26 กรัม/ตาราง เซนติเมตรของพื้นที่ผิวรากฟันหรือ 15 - 20 มม.ปรอท ซึ่งเป็นแรงดันของเลือดใน หลอดเลือดฝอย และจะทำให้ฟันเคลื่อนที่ได้ประมาณ 1 มม./เดือน ถึงแม้จะมีค่าแตกต่างกัน บ้างในแต่ละบุคคล ซึ่ง Standard British Textbook ก็เห็นด้วย ถ้าแรงมากกว่า 26 กรัม/ตารางเซนติเมตร จะทำให้เนื้อเยื่อปริทันต์ขาดเลือดมาเลี้ยงเกิดการตาย (เฉพาะส่วน) (Necrosis) ของเนื้อเยื่อได้

Oppenheim (1942) อ้างถึงใน Crabb และ Wilson แนะนำให้ใช้แรงน้อยร่วมกับ มีช่วงการพัก (periods of rest) เพื่อไม่ให้เกิดอันตรายต่อเนื้อเยื่อปริทันต์

Reitan (1947) กล่าวถึง การเพิ่มขนาดแรงมากขึ้นเพื่อเคลื่อนฟันแบบบอลิส ติคพบว่าไม่เกิดการละลายของรากฟันเพิ่มขึ้น

Hemley (1955) อ้างถึงใน Crabb และ Wilson กล่าวว่าแรงที่ใช้ต้องไม่ทำให้เกิด การเคลื่อนที่มากกว่าระยะความกว้างของเนื้อเยื่อปริทันต์

Reitan (1956) อ้างถึงใน Crabb และ Wilson แนะนำให้ใช้แรงเริ่มต้น 25 กรัม ในผู้ใหญ่ และ 30-40 กรัม ในเด็กต่อมาให้แรงได้มากถึง 100-150 กรัม.

Jarabak และ Fizzell (1963) กำหนดขนาดแรงที่เหมาะสมคือ 2-2.5 กรัม ต่อตารางมิลลิเมตร ของพื้นที่ผิวกระดูกที่ติดกับรากฟันที่ถูกกดขณะเคลื่อนแบบทึบปีง

Tulley และ Campbell (1965) อ้างถึงใน Crabb และ Wilson แนะนำให้ ใช้ขนาดแรง 20-25 กรัม/ตารางเซนติเมตรของพื้นที่ผิวรากฟันของฟันรากเดี่ยว ต่อมาในปี 1970 พื้นที่ผิวรากฟันดังกล่าว หมายถึง พื้นที่ผิวฟันส่วนที่มีการเคลื่อนที่ไปหรือ เรียกว่า Projected root area

Walther (1967) กล่าวถึงใน Crabb และ Wilson กล่าวว่า การใช้ขนาดแรง น้อย ๆ ในช่วงแรกต่อมาจะสามารถเพิ่มขนาดแรงได้ถึง 50 กรัม. สำหรับการเคลื่อนฟัน รากเดี่ยว

Burstone และ Groves (1961) ศึกษาขนาดแรงที่ใช้ในการเคลื่อนฟันหน้าบนแบบทึบปิง และเป็นแรงต่อเนื่อง (Continuous force) ในเด็ก 22 คนอายุเฉลี่ย 9 ขวบ ที่มีฟันหน้าบนยื่นโดยใช้ Helical Tension spring ที่ให้แรงโดยเฉลี่ย 13 กรัมต่อมิลลิเมตร พบว่าขนาดแรงที่เหมาะสมที่ทำให้ฟันมีการเคลื่อนที่ในอัตราที่เหมาะสมที่สุด คือ แรงขนาด 50-75 กรัม สอดคล้องกับการศึกษาของ Reitan (1967)

Gianelly และ Goldman (1971) กำหนดแรงคงที่ในการเคลื่อนฟันหน้าบนแบบทึบปิงนั้นมีขนาดแรงที่เหมาะสมคือ 50-75 กรัม และ 325 กรัม สำหรับการเคลื่อนฟันหน้าบนทั้ง 4 ซี่ แบบบอดิลี่

จากรูปที่ 33 ข, 34 ข และ 35 ข พบว่าฟันที่ผิวที่มีแรงกระทำไม่เท่ากันดังนั้นแรงที่เหมาะสมในการเคลื่อนที่แต่ละแบบจึงไม่เท่ากัน Reitan (1957) กล่าวว่า ในการเคลื่อนฟันแบบบอดิลี่มักจะเกี่ยวข้องกับฟันที่ผิวรากฟันทั้งหมด แต่การเคลื่อนที่แบบทึบปิงจะเกี่ยวข้องกับฟันที่ผิวรากฟันบางส่วนเท่านั้น ทำให้ต้องใช้แรงในการเคลื่อนที่แบบบอดิลี่มากกว่าทึบปิง สอดคล้องกับ Hocesvar (1981) ที่กล่าวว่า การเคลื่อนฟันแบบทึบปิงต้องการแรงน้อยกว่าแต่เคลื่อนที่ได้เร็วกว่าแบบบอดิลี่

สิ่งที่มีอิทธิพลต่อขนาดแรงที่เหมาะสม

(จินตนา ศิริชุมพันธ์, 2533; Reitan, 1957; Gianelly และ Goldman, 1971; Burstone, 1977; Nikolai, 1985; Proffit และคณะ, 1986)

1. ขนาดของฟันแต่ละซี่ โดยขึ้นอยู่กับรูปร่างและความยาวของรากฟัน
2. ชนิดของการเคลื่อนฟัน
3. ความแตกต่างในแต่ละบุคคล เช่น ความหนาแน่นและลักษณะการเรียงตัวของกระดูก
4. อายุ

ข้อเสียของการใช้ขนาดแรงที่ไม่เหมาะสม

ถ้าให้แรงมากกว่าแรงที่เหมาะสม จะทำให้เกิด

- ก. อัตราการเคลื่อนที่ลดลง (Hixon และคณะ, 1969)
- ข. ความเจ็บปวด และฟันโยกมาก (Burstone, 1982)
- ค. รากฟันละลาย/หรือ ฟันตาย (Pulp necrosis)
- ง. การเคลื่อนที่ไม่เป็นไปตามที่ต้องการ
- จ. หลักยึดมีการเคลื่อนที่ (Burstone, 1982)

ถ้าให้แรงน้อยกว่าแรงที่เหมาะสม จะทำให้เกิด

- ก. ฟันไม่เคลื่อนที่หรือเคลื่อนที่ช้ากว่ากำหนด
- ข. การเคลื่อนที่ไม่เป็นไปตามที่ต้องการ

	การเคลื่อนฟันแบบทีปปีง (กรัม)	การเคลื่อนฟันแบบบอดิลี่ (กรัม)	การกดฟัน (กรัม)
Burstone (1961, 1977)	50-75		25
Reitan(1967)	50-75		
GianellyและGoldman (1971)	50-75	150	15-50
Rickettsและคณะ (1980)			15-25
Proffitและคณะ (1986)	50-75	100-150	15-25

ตารางที่ 9 แสดงสรีรขนาดแรงที่เหมาะสมของการเคลื่อนฟันแบบทีปปีง,
แบบบอดิลี่ และการกดฟัน

สรุป

ในการเคลื่อนพื้นหน้าบนโดยใช้ลวดคอนแทรกชัน อาร์ชนั้นมีปัจจัยหลายอย่างที่มีผลต่อขนาดแรง ได้แก่ ชนิดของลวด, ขนาดลวดและแบบของลูปซึ่งเกี่ยวข้องกับความยาวลวด ปัจจัยที่มีผลมากที่สุด คือ ขนาดลวด แต่มีข้อจำกัดจากขนาดสลอตของแทรกเกอร์ที่ใช้ ดังนั้นแบบของลูปของลวดคอนแทรกชัน อาร์ช จึงมีผลโดยตรงต่อการเปลี่ยนแปลงขนาดแรง มีผู้วิจัยหลายท่านที่กล่าวถึงขนาดแรงที่เหมาะสมของลวดคอนแทรกชัน อาร์ช ในการเคลื่อนพื้นหน้าบนและการออกแบบลูปที่ส่งผลต่อการเคลื่อนพื้นในลักษณะต่าง ๆ เช่น การเคลื่อนพื้นแบบทึบหรือการเคลื่อนพื้นแบบบอดี การเลือกใช้ลวดคอนแทรกชัน อาร์ช จึงจำเป็นต้องพิจารณาปัจจัยดังกล่าว เพื่อให้ได้ขนาด และทิศทางของแรงที่เหมาะสม

ศูนย์วิทยทรัพยากร
จุฬาลงกรณ์มหาวิทยาลัย